

**24091**

**DOĞANKUZU GÜNEY BLOK BOKSİT OCAĞININ  
( SEYDİŞEHİR ) ŞEV DURAYLILIĞI**

**Alparslan TURANBOY**

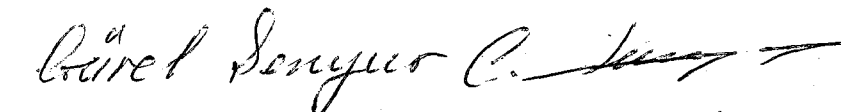
Hacettepe Üniversitesi  
Fen Bilimleri Enstitüsü Yönetmeliğinin  
Maden Mühendisliği Anabilim Dalı İçin Öngördüğü  
**YÜKSEK MÜHENDİSLİK TEZİ**  
Olarak Hazırlanmıştır.

**Eylül - 1992**

Fen Bilimleri Enstitüsü Müdürlüğüne ,

İşbu çalışma, jürimiz tarafından MADEN MÜHENDİSLİĞİ  
Anabilim Dalında YÜKSEK MÜHENDİSLİK TEZİ olarak kabul  
edilmiştir.

Başkan : Leyla Kulalı 

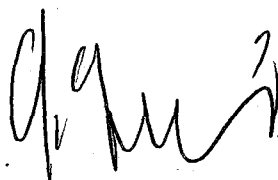
Üye : Bülent Sengül 

Üye : Doç.Dr. Ahmet Şentürk 

Onay

Yukarıdaki imzaların, adı geçen öğretim üyelerine ait olduğunu onaylarım.

08 EKİM 1992



Prof.Dr. Gültekin GÜNAY  
Fen Bilimleri Enstitüsü Müdürü

## Ö Z E T

Bu çalışmada, Konya ili, Seydişehir ilçesi sınırları içerasinde bulunan ve yörenin en önemli boksit yataklarını oluşturan Doğankuzu Güney Blok Boksit Ocağının şev duraylılığı, kinematik metodlarla, ocak yüksekliği -şev açısı ve emniyet katsayılarına göre incelenmiş, Kayaç kütle sınıflaması (ISRM, 1978) ve labratuvar deneyleri ile ortam kayaçın fiziksel özelliklerini ile şev duraylılığı arasındaki ilişkiler incelenmiştir.

Tektonik yapısı oldukça gelişmiş olan sahada, gözlenen süreksizlikler fay, kırık çatlak sistemleri ve tabakalama yüzeyleri olup, öncelikle kama kaymaları ile devrilme ve düzlemsel kayma bölgeleri bulunmaktadır.

Yapılan analizler sonucu, sahanın KB, B, GB, GD ve KB bölgeleri kayma olasılığı taşımakta olup, bu bölgelerde öncelikle şev açılarının düşürülmesi gereği ortaya çıkmaktadır.

## S U M M A R Y

In this work, it is examined the slope stability of "Doğankuzu Güney Blok Boksit Ocağı" with kinematik methods according to the height of open pit - slopes angel and safety numbers which is about Seydişehir town of Konya and formed the most important bouxite deposite of this district. And it is examined between rock mass classifications (ISRM, 1978), labratuary experiments with physical properties of enclosing rock and slope stability.

There are much important discontinuity, joint foulds, cracks systems and planer surfaces it this area which developed quitey from tectonic structure but formerly there are wedge failure and toppling failure and plane failure district.

After the conclusion of analyses it is appeared that NW, W, SW, SE and NE districts of the area have the possibility of slip and formerly it is needed to increase the slope angels in this districts.

### TEŞEKKÜR

Bu çalışmanın gerçekleşmesinde, katkılarından dolayı tez danışmanım Prof. Dr. Seyfi KULAKSIZ'a, Bölüm Başı- nımız Prof. Dr. Halim DEMİREL'e, S. Ü. Seydişehir Mes- lek Yüksekokulu Müdürü Yrd. Doç. Dr. M. Muzaffer KARA- DAG'a, Seydişehir Alüminyum İşletmesi Boksit Müdürü Metin KÖSEOĞLU'na, arazi çalışmalarında yardımcılarını esirgemeyen Aramalar Daire Başkanı Jeoloji Yük. Mühendi- si Ertuğrul TEPEBAŞI'na, Maden Müh. Fahrettin KILINÇ'a, Maden Müh. Ali Mümtaz GÜN'e, Uzman Hakan KULLEP'e, tez çalışmalarım sırasında yardımcılarını gördüğüm Metalürji Müh. İbrahim HALICI'ya ayrıca haritaların çiziminde yar- dımcı olan Harita Müh. Bilal AKKOL'a ve isimlerini saya- madığım bütün arkadaşlarına teşekkürü borç bilirim.

## İÇİNDEKİLER DİZİNİ

	<u>Sayfa</u>
ÖZET	i
SUMMARY	ii
TEŞEKKÜR	iii
İÇİNDEKİLER DİZİNİ	iv
ŞEKİLLER DİZİNİ	vi
ÇİZELGELER DİZİNİ	vii
SİMGELER VE KISALTMALAR	viii
1. GİRİŞ	1
2. BÖLGENİN JEOLOJİSİ	2
2.1. Coğrafi Durumu	2
2.2. Genel Jeoloji	4
2.2.1. Stratigrafi	4
2.3. Uyumsuzluklar, Dolgu ve Karstik Yapı	5
2.4. Yapısal Jeoloji	6
2.4.1. Faylar	7
2.4.2. Çatlıklar	7
3. DOĞANKUZU GÜNEY BLOK BOKSİT YATAĞI	10
3.1. Ocak Konumu	10
3.2. Genel Ocak İşletmesi	10
3.3. Rezerv ve Üretim	10
3.4. Cevherin Özellikleri	12
3.4.1. Fiziksel Özellikler	12
3.4.2. Kimyasal Özellikler	12
3.4.3. Mineralojik ve Petrografik Özellikler	13
3.5. Ortam Kayacın Özellikleri	14
3.5.1. Fiziksel Özellikler	14

	<u>Sayfa</u>
<b>4. LABRATUVAR DENEYLERİ</b>	<b>15</b>
<b>4.1. Tek Eksenli Sıkışma Dayanımı</b>	<b>15</b>
<b>4.2. Makaslama Dayanımı</b>	<b>17</b>
<b>5.1. KAYAÇ KÜTLE SINIFLAMASI</b>	<b>20</b>
<b>5.1. Cevherin Tanımı</b>	<b>20</b>
<b>5.2. Yankayacın Tanımı</b>	<b>20</b>
<b>5.3. Kayaç Kalite Tanımlaması</b>	<b>23</b>
<b>6. ŞEV DURAYLILIK ANALİZLERİ</b>	<b>27</b>
<b>6.1. Mümkün Kayma Türleri</b>	<b>27</b>
<b>6.2. Ocağın Bölgeler İtibarıyle Değerlendirilmesi</b>	<b>29</b>
<b>6.3. Kontur Diyagramlar</b>	<b>30</b>
<b>6.3.1.Birinci Alt Bölgenin Konturlanması</b>	<b>31</b>
<b>6.3.2.İkinci Alt Bölgenin Konturlanması</b>	<b>31</b>
<b>6.3.3.Üçüncü Alt Bölgenin Konturlanması</b>	<b>31</b>
<b>6.3.4.Dördüncü Alt Bölgenin Konturlanması</b>	<b>32</b>
<b>6.4. Süreksizlik Verilerine Göre Kinematik Analiz</b>	<b>32</b>
<b>6.5. Yalnızca İçsel Sürtünme Açısı İçeren Kama Tipi       Kayma Bloğu Duraylilik Analizi</b>	<b>33</b>
<b>6.6. Şev Yüksekliği-Şev Açısı İlişkisi</b>	<b>37</b>
<b>6.7. Analizlerin Yorumlanması</b>	<b>39</b>
<b>7. SONUÇ ve ÖNERİLER</b>	<b>42</b>
<b>8. DEĞİNİLEN BELGELER DİZİNİ</b>	<b>43</b>

## ŞEKİLLER DİZİNİ

<u>SEKİL</u>	<u>Sayfa</u>
2.1. Coğrafi durum	3
2.2. Sahada gözlenen karstik yapılar	4
2.3. Tabaka,çatlak doğrultularını gösteren gül diyagram	9
3.1. Cep tipi boksit yatakları	11
3.2. Doğankuzu Güney Blok Boksit Yatağının Kuzey kesimi,güneyden görünümü	11
4.1. Tek eksenli basıç dayanımı deney düzeneği	17
4.2. Makaslama dayanımı testi deney düzeneği	19
5.1. Tabakalanma kalınlıklarının şev aynasında görünümü	21
5.2. Tabakalanma yüzeylerinde pürüzlülük	21
5.3. Çatlakların görünümü	22
5.4. Kayaç kütle tanımlamalarına ait diyagramlar	26
6.1. B kesiminde gözlenen devrilme türü kayma yapıları	28
6.2. GB Kesiminde gözlenen kama türü kayma yapıları	28
6.3. Kutupların sayımında kullanılan kenar ve iç sayıcılar	30
6.4. Kutupların sayımı için kullanılan 1/100 eşit alana bölünmüş stereo-net	31
6.5. Kaya şevelerde,şev açısı-şev yüksekliği ilişkisi	38
6.6. Kuru ve sulu şevelerde şev açısı-emniyet katsayısı ilişkisi	41

## ÇİZELELER DİZİNİ

<u>ÇİZELE</u>	<u>Sayfa</u>
Çizelge 2.1. Yaklaşık KB-GD ve K-G doğrultulu fayların eğim ve eğim yönleri	8
Çizelge 4.1. Tek eksenli sıkışma dayanımı deney sonuçları	16
Çizelge 4.2. Kayaçların dayanımları tayin ölçütleri	18
Çizelge 4.3. Krüz formasyonuna ait direk makaslama deney sonuçları	19
Çizelge 5.1. Kayaç kütle sınıflaması	24
Çizelge 5.2. Hesaplanan RQD değerleri	25
Çizelge 5.3. Kayaç kalite tanımlaması	25
Çizelge 6.1. Süreksizlik takımlarına ait eğim ve eğim yönleri	35
Çizelge 6.2. Kama tipi kayma oluşturabilecek süreksizlik çiftlerine ait emniyet katsayısı değerleri	36

## SİMGELER ve KISALTMALAR

### Simge

K	Kuzey
G	Güney
D	Doğu
B	Batı
KD	Kuzeydoğu
KB	Kuzeybatı
GB	Güneybatı
GD	Güneydoğu
$\text{Al}_2\text{O}_3$	Alüminyum oksit
$\text{SiO}_2$	Silisyum oksit
L	Karot boyu (cm.)
D	Karot çapı (cm.)
$\sigma_c$	Tek eksenli sıkışma dayanımı ( $\text{kgf}/\text{cm}^2$ ), ( $\text{MPa}$ )
P	Toplam yük (kgf)
A	Örneğin kesit alanı ( $\text{cm}^2$ )
T	Süre(dakika,saniye)
C	Makaslama dayanımı ( $\text{kgf}/\text{cm}^2$ ), ( $\text{MPa}$ )
$F_c$	Yenileme kuvveti(kgf)
RQD	Kayaç kalite değeri (%)
$L_p$	10 cm.den uzun karotların toplam uzunluğu (m.)
$L_t$	Toplam karot uzunluğu (m.)
$\psi_f$	Şev eğimi (derece)
$\psi_i$	Kayma oluşturan yüzeylerin kesişim doğrusunun yatayla yaptığı açı (derece)
$\phi$	İçsel sürtünme açısı (derece)
F	Emniyet katsayı
A,B	Kama geometrisine ait birimsiz katsayılar.
$I_{x,y}$	Süreksizlik düzlemlerinin kesişmesi ile oluşan doğrunun kutup noktası

**KISALTMALAR**

**E.A.İ.** Etibank Alüminyum İşletmesi

**H. Ü.** Hacettepe Üniversitesi

**I.S.R.M.** Uluslararası Kaya Mekaniği Komisyonu

**İ.T.Ü.** İstanbul Teknik Üniversitesi

## 1. GİRİŞ

Günümüz madenciliğinde, yeraltı işletmelerin yerini ,açık işletmelerin arasında yüksek kapasiteli madencilik makinalarının gelişmesi önemli rol oynamaktadır. Teknolojinin gelişmesiyle, kısa sürede daha fazla ve yüksek verimle dekapajın yanısıra, şev stabilitesini ve ekonomikliği sağlayan tekniklerin kullanılması da önemlidir. Optimum değerde şev açılarının saptanması ve sürekli kontrolü ocak emniyeti açısından gereklidir.

Şev duraylılık analizlerinde, ilgili formasyon veya formasyonlara ait (tabaka, fay, çatlak vb.) süreksizlikler ile malzemeye ait jeomekanik özellikleri bölgenin jeoteknik yapısı vb. diğer etkenlerin ortaya çıkarılması açısından ocak şev dizaynında temel verileri oluşturmaktadır.

Bu çalışmada Konya İli, Seydişehir ilçesi civarında bulunan Doğankuzu Güney Blok Ocağının kayma bölgelerinde emniyet katsayılarının, şev açısı - şev yüksekliği ilişkileri ortaya çıkarılarak şev duraylılığının belirlenmesi amaçlanmıştır.

## 2. BÖLGENİN JEOLOJİSİ

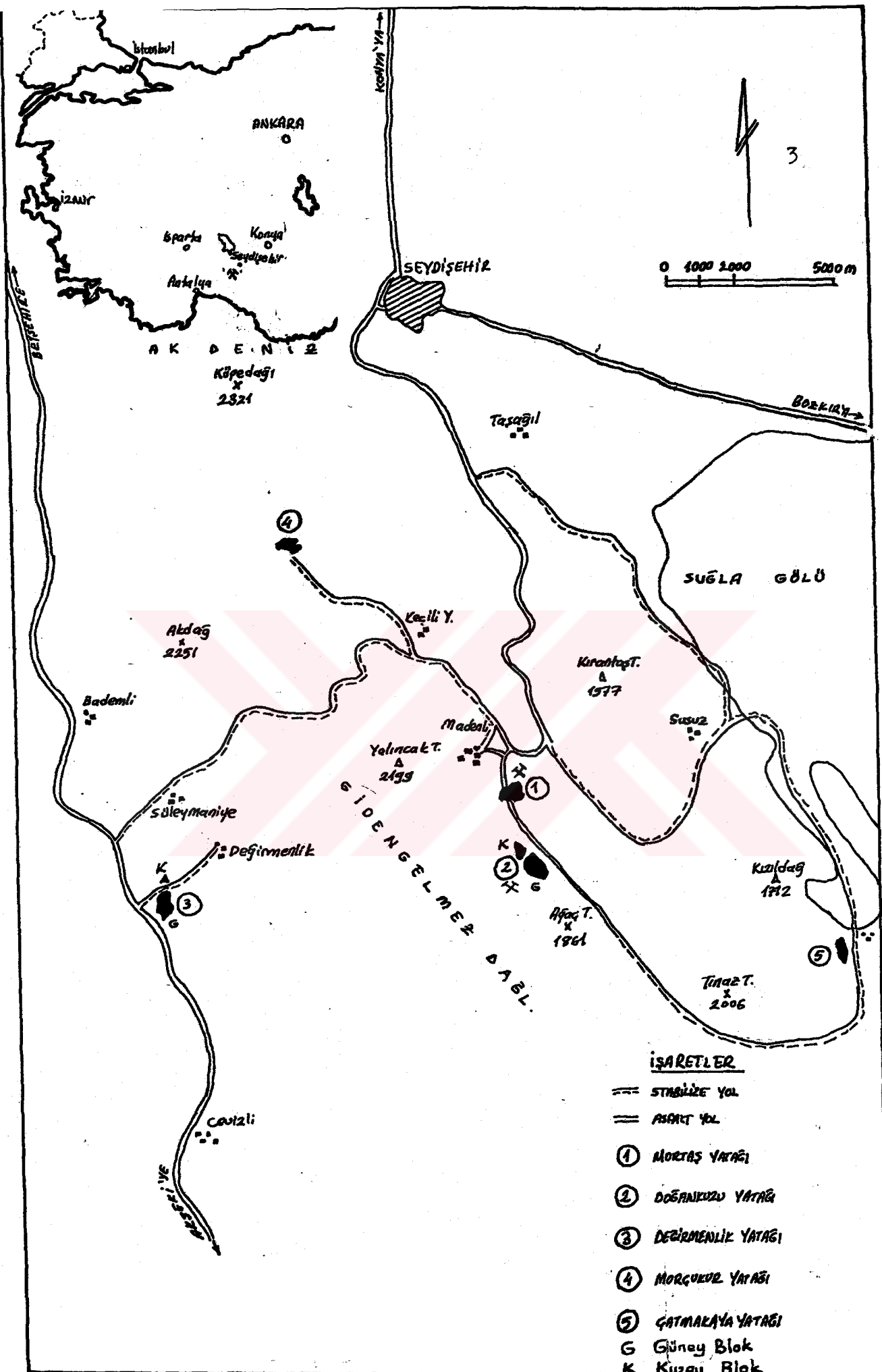
### 2.1. Coğrafi Durum

Çalışma alanı, Doğankuzu Güney Blok Boksit Ocağı, Konya ili, Seydişehir İlçesi, Madenli Köyü sınırları içeresinde Mortaş Boksit Ocağının 1 Km. Güneyinde bulunur. Ulaşım Mortaş'tan itibaren stabilize bir yolla sağlanır. Seydişehir'e 25 km. asfalt, 1 Km.si stabilize olmak üzere toplam 26 Km.lik bir yol ile bağlantılıdır (Şekil 2.1.).

Ana formasyon tamamen kireçtaşı olup, özellikle kireçtaşlarını, büyük atımlarla öteleyen faylarla, keskin ve sarp morfolojik şekiller, derin vadiler ortaya çıkmıştır. Oldukça engebeli olan arazide tabakalanma yüzeyleri bariz bir şekilde seçilmektedir. Bölgenin bir diğer karakteristiği de irili ufaklı karstik oluşumlardır (Şekil 2.2.). Önelli yükseltileri kuzeyden güneye doğru, Küpe Dağı (2321 m.), Kantarlık T. (2019 m.), İnsuyu T. (1928 m.), Akdağ (2251 m.), Yalıncak T. (2199 m.), Ağaçtepe (1865 m.), Mortaş T. (1782 m.), Tinaz T. (2006 m.)'dır.

Bölge yeraltı suyu bakımından oldukça fakirdir. Parçalanmış kireçtaşlarının hakim olması sebebiyle hiçbir kaynağı rastlanmaz. Bahar aylarında ise, çok küçük derecikler oluşmakta bunlar yaz ve kış aylarında tamamen ortadan kalkmaktadır. Bölgede, Akdeniz İklimi ile İç Anadolu İklimi arasında geçiş bölgesini karakterize eden bir iklim hüküm sürer. Buna göre iklim, kışları çok soğuk ve yağışlı, yazları ise kuraktır. Yörede en yüksek sıcaklık  $36.5^{\circ}\text{C}$ , en düşük sıcaklık ise,  $-18.4^{\circ}\text{C}$  olarak tespit edilmiştir (KARADAG, 1987).

Bitki örtüsü bakımından, bölge yer yer çam, sedir, meşe ormanları ile kaplıdır.



Şekil 2.1. Yergösterme Haritası

Bölge halkın yoğunluğu geçimini Seydişehir'de bulunan Etibank Alüminyum Tesislerinde çalışarak, bir kısmı ise, hayvancılık ve ormancılıktan sağlamaktadır.



Şekil 2.2. Sahada gözlenen Karstik oluşumlar

## 2.2. Genel Jeoloji

Çalışma alanı, Mesozoik ve Senozoik yaşlı formasyonların istiflenmesinden ibarettir.

Mezosoik birimleri, boksitlerin de içerisinde bulunduğu ve sahada en fazla yayılım gösteren Üst Kratese yaşlı kireçtaşlarından oluşmuştur.

Senozoik birimleri, alttan, üste doğru, Üst Kratese yaşlı kireçtaşları üzerinde açısız diskordans ile gelen Üst Paleosen - Alt Eosen yaşlı kireçtaşları vardır.

Genel Jeolojik harita Ek:1'de verilmiştir.

### 2.2.1. Stratigrafi

Doğankuzu Güney Blok Boksit Yatağında, cevher taban ve iki adet tavan kireçtaşı olarak adlandırılan formasyon-

lar arasında bulunmaktadır. Boksit tabanında yataklanan taban kireçtaşı KB - GD uzanımında gri, açık gri tonlarda izlenmektedir.

Cevherli zona yakın seviyelerde yaklaşık 1 m. kalınlıkta boksit yıkanması ile oluşan pembemsi bir zon bulunmaktadır. Taban kireçtaşı ( $Kr_1$ ), masif ve çok ince taneli olarak gözlenmektedir. Bazı sondajlarda silah ve koyu gri, şekil kil dolgulu çatlaklar ve karstik boşluklara rastlanmıştır. Bölgede, boksit ve taban kireçtaşı üzerinde tabakalanmaya yakın ve küçük diskordanslar şeklinde gökemmiş, tavan kireçtaşı ( $Kr_2$ ) daha koyu gri renkli bol rudistli (makro fosil) ve daha iri kristalli olarak gözlenmektedir. Arasındaki boksitli breş nedeni ile iki kısımda incelenebilir. Cevher yatağının üzerine gelen kısmı, 50-60 m. kalınlıkta bloklar halinde ve karstik boşluklar içermektedir. Boksitli breş tüm sahadagözlenmeye olup, 5-10 m. kalınlıktadır. Sahanın KB'da bulunan farklı bir mostrada ikinci ve üçüncü boksitli breş seviyelerinin varlığı tespit edilmiş, ancak bu seviyeler, tüm sahada gözlenmemektedir. Bu seviyeler, iri kristalli ve bol boşluklu pembemsi, açık boksit tonlarındadır.

Boksitli breş seviyesinin üzerinde izlenen, üçüncü tavan kireçtaşı ( $Kr_3$ ) seviyesinin kalınlığı, 70-80 m. arasındadır. Bu seviye, daha koyu gri ve siyahımsı koyu gri bantlar halinde gözlenen dolomitik kireçtaşlarıdır.

Gözlenebilen tüm tabakalar KB - GD yönünde izlenmekte ve birbirleri ile uyumlu gözükmektedirler. Bu uyum Şekil 3.2'de rahatlıkla gözlenebilir.

### 2.3. Uyumsuzluklar, Dolgu ve Karstik Yapılanma

Bölgede gözlenen, çimentolaşmış kalsit dolgulu süreksızlıklar ve tabakalar arasında yer alan kil, terra-rosa türü toprak dolgular karakteristikdir. Ocak çukurunda ve

sondajlarda yeraltı suyuna rastlanmamıştır. Bu, ortamın karstik yapısından dolayı drenaj sistemlerinin gelişmiş olmasına bağlanabilir.

Devrilme tipi kaymalar, genellikle bahar ve kış aylarında gözlenmesi, su basıncının mümkün kayma yüzeylerinin makaslama dayanımını azaltarak şeşlerde stabilitenin, çatıtlaklarda ve boşluklardaki atmosferik suyun domup, hacim genişlemesine sebebiyet vererek, kayma veya devrilmeye neden olan kuvvetleri artırmaktadır. Keza donan suyun, drenaj sistemlerini tıkayarak stabiliteyi olumsuz etkileyeceği muhakkaktır.

Bunun yanısıra, sondajlarla tespit edilemeyen, ocak çalışma emniyetini olumsuz yönde etkileyebilecek büyük karstik boşluklarda ortaya çıkan boşluğun dekapaj malzemesi ile doldurulması olmaktadır. Nitekim 1991-1992 Bahar dönemi faaliyetlerinde ocağın GB kesiminde, 1570 - 1585 kademelerinde pattatma sonucu ortaya çıkan büyük bir karstik boşluk  $4000\text{ m}^3$  dekapaj malzemesi ile doldurulmuştur. Bunun gibi, işletme esnasında ortaya çıkan ve önceden tespit edilemeyen büyük çapta boşlukların ramble malzemesi ile doldurulması, iş güvenliği açısından güvenilir bir metod olmaktadır.

Uyumsuzluk olarak ise 5-10 m. kalınlıkta, her yönde izlenebilen boksit ve boksitimsi malzeme ile çimentolaşmış breşik bir seviye gözlenir.

#### 2.4. Yapısal Jeoloji

Alpin hareketlerine maruz kalan çalışma sahasındaki tüm formasyonlarda, aynı tektonik kuvvetlerin etkisi gözlenebilmektedir. Bu hareketlerin etkisinde kalan birimler, büyük kıvrımlar ve bindirme hareketleri ile birlikte normal ve doğrultu atımlı fayların ortaya çıkmasıyla bugünkü konumlarını kazanmışlardır. Bu bölgede, büyük yapıların yanısıra yapraklanması (klivaj), tansiyon ve makaslama çat-

lakları gibi pek çok yapı şekilleri de yine aynı hareketlere bağlı olarak gelişmiştir.

Bölgemin morfolojik gelişimi, KB - GD gidişli yapısal elemanlarla kontrol edilmiştir.

Tektonik açıdan oldukça gelişmiş olan çalışma sahasında, tektonizmanın, eğim ve doğrultuları büyük ölçüde etkilediği görülmektedir. Doğrultular K  $10^{\circ}$  -  $60^{\circ}$  B, eğim ise,  $10^{\circ}$  -  $55^{\circ}$  GB arasında değişmektedir. Cevher yatağının genel doğrultu ve eğimi ise K  $30^{\circ}$  B,  $30^{\circ}$  GB dir.

#### 2.4.1. Faylar

Çalışma sahasında iki grup fay tespit edilmiş olup bunlar, yaklaşık KB - GD konumlu ve K - G konumlu eğim atımlı faylardır. K - G yönünde sıralanan faylar bazı bölgelerde ters düşyler göstermektedir. Birbirlerini çoğu kez dik olarak kesen bu fayların eğim ve eğim yönleri ile konumları 1977 yılında A. PELEN tarafından Doğankuzu Güney Blok Boksit Ocağı Arama Raporu için tanzim edilen 1/2000 ölçekli tektonik haritanın revize edilmesi ile tespit edilmiştir. Revize edilen 1/2000 ölçekli tektonik harita ( Ek 2 ) de, elde edilen eğim ve eğim yönleri Çizelge 2.1 de verilmiştir.

#### 2.4.2. Çatlıklar

Faylar dışında çatlık sistemleri gözlenen diğer bir sürekzilik türüdür. Çatlık sistemleri, sahada izlenen KB - GD ve K-B konunlu faylarla yaklaşık aynı doğrultudadır. Buna göre, sahamızdaki fayların ve çatlıkların KG ve DB yönlü kuvvetler etkisi altında kaldığı söylenebilir. Bu kuvvetlerin etkileri, KB - GD yönlerinde belirgin olarak gözlenmektedir.

Kireçtaşı formasyonlarında 102 adet tabaka ve 328 adet çatlık doğrultusuna ait gül diyagram ( Şekil 2.3 ) de verilmiştir.

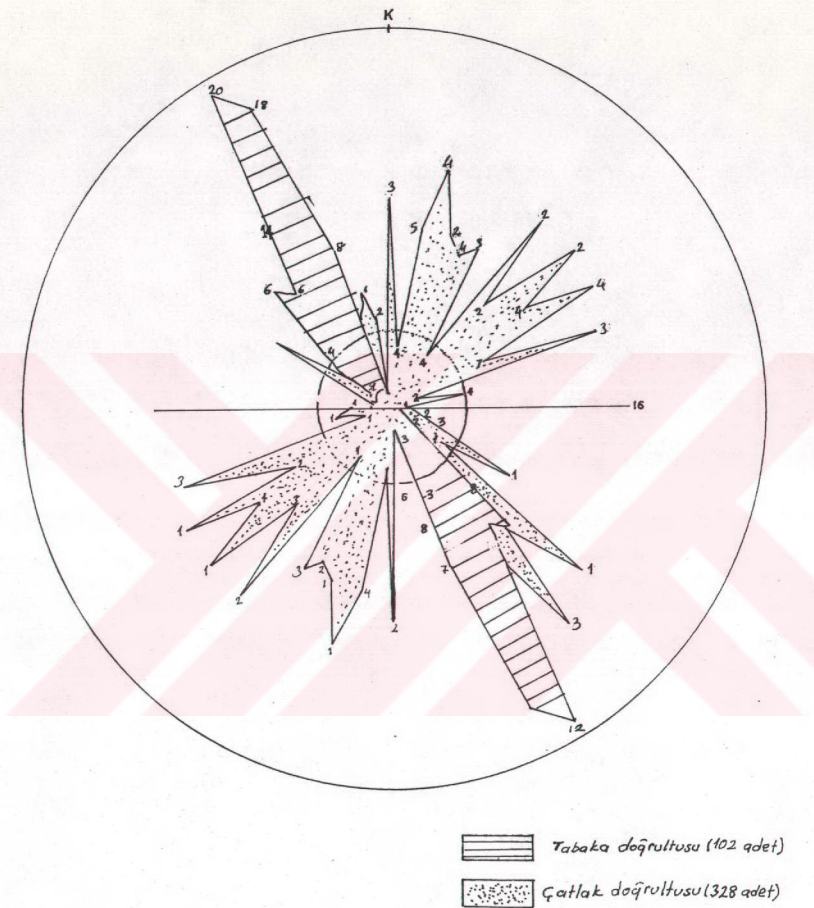
Yaklaşık KB - GD doğrultulu faylar

Fay No	Eğim	Eğim Yönü	Fay No	Eğim	Eğim Yönü
1	80	199 ± 2	10	80	155 ± 4
2	80	223 ± 10	11	80	134 ± 4
3	85	138 ± 4	12	85	140 ± 10
4	85	120 ± 4	13	85	130 ± 10
5	80	132 ± 2	14	80	126 ± 2
6	80	230 ± 4	15	80	242 ± 10
7	80	154 ± 10	16	80	248 ± 10
8	80	222 ± 20	17	80	160 ± 10
9	80	225 ± 30	18	80	128 ± 30

Yaklaşık K-G doğrultulu faylar

Fay No.	Eğim	Eğim Yönü	Fay No	Eğim	Eğim Yönü
1'	70	34 ± 2	5'	75	75 ± 45
2'	60	25 ± 60	6'	70	78 ± 20
3'	70	58 ± 20	7'	80	100 ± 2
4'	60	84 ± 30	8'	60	32 ± 2

Çizelge : 2.1. Yaklaşık KB-GD ve K-G doğrultulu fayların eğim ve eğim yönleri (derece).



Şekil (2.3) Kireçtaş formasyonlarında tabaka, çatlak doğrultularını gösterir gül diyagram (%).

### 3. DOĞANKUZU GÜNEY BLOK BOKSİT YATAĞI

#### 3.1. Ocak Konumu

Başlangıçta bir bütün olarak oluşan Doğankuzu Boksit Yatağı eğim atımlı büyük bir fayla Güney ve Kuzey olmak üzere iki kısma ayrılmıştır (Şekil 2.1). KD - GB yönünde kuvvetlerin etkisinde kalan yatak "cep tipi" boksit yatağı sınıfına girmektedir ( Şekil 3.1.), (Harder ve Greig, 1960). 1570 m. kodu ocak tabanından itibaren, kuzey kesiminde en yüksek koduna (1726 m.) ulaşmaktadır. Bu kesimde açık ocak tabanından itibaren 12 basamak oluşturulmuştur ( Şekil 3.2.). Yukselti, güney kesimlere doğru düşmektedir. Uzun ekseni KB - GD yönünde 1100 m., kısa ekseni KD - GB yönünde 400 m. olan ocak, karstik bir çukurdan oluşmuştur (Ek. 3).

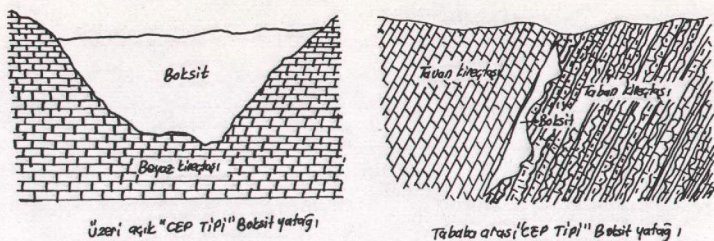
#### 3.2. Doğankuzu Açık Ocak İşletmesi

Doğankuzu Güney Blok Boksit Ocağında seçilen işletme koşulları şu şekilde sıralanabilir. Genel şeş açısı,  $55^{\circ}$ , basamak açısı,  $75^{\circ}$ , basamak yüksekliği 13 m., basamak genişliği, 6 m. Ocağın topografik özellikleri de içine alan 1/2000 ölçekli Ekim 1991 sonu imalat haritası Ek. 4'de sunulmuştur.

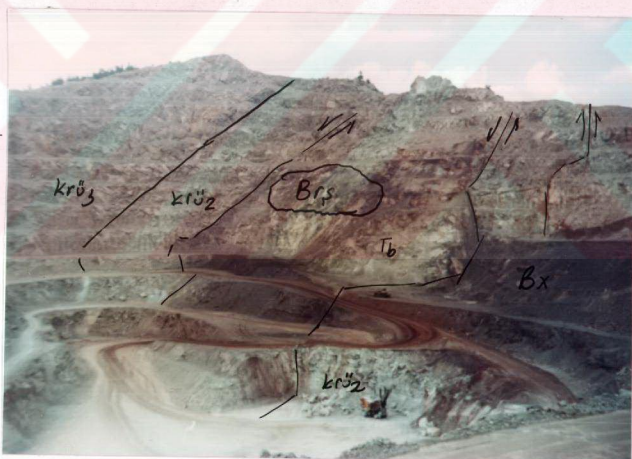
#### 3.3. Rezerv ve Üretim Miktarları

Seydişehir yoresinin en büyük boksit yataklarını oluşturan Doğankuzu Güney Blok Boksit Ocağında bugüne kadar yapılan arama çalışmaları ile ortaya çıkarılan görünür + muhtemel rezerv 8.333.5000 ton dur. 1991 tivenan üretim miktarı 160.743 ton sabit kalmak şartıyla ( $8.333.500 / 160.743 = 50$  yıl ocak ömrü) bulunmaktadır.

Yatağın genel cevher-dekapaj oranı, kalan  $5.273.132$  ton cevher ve  $7.683.563 \text{ m}^3$  dekapaj gözönüne alınarak  $1/3 \text{ ton/m}^3$  olarak verilebilir (E.A.İ. 1991 Faaliyet Raporu, 1991).



Şekil 3.1. Cep tipi boksit yatakları  
(Harder ve Greig, 1960).



Şekil 3.2. Doğankuzu Güney Blok Boksit Yatağının  
Kuzey kesimi, güneyden görünümü.

### 3.4. Cevherin Özellikleri

#### 3.4.1. Fiziksel Özellikler

Doğankuzu boksitlerinden alınan el örnekleri değişik fiziksel özellikler gösterir. Tüvenan üretimi yapılan diğer ocak olan Mortaş boksitlerine nazaran daha gevrek ve kırılgan yapıya sahiptir. Toprağımsı, killi görünümde sahip olanlar yanısıra masif, sert ve parlak olanlar ile yer yer bantlı ve benekli yapıda olanlara da rastlanmaktadır.

**Renk:** Doğankuzu boksitlerinin rengikirmizimsi kahve ve kırmızı kırızsızıdır. Taban ve tavandaki yaklaşık 1.0 m.'lik zon boksitten, tavandaki kireçtaşlarına doğru kırmızımsı pembe alev sarısı ve yeşilimsi bir renk dizisi göstermektedir. Bu zon içerisinde sarı renkli pirit minerallerine de rastlanmaktadır.

**Yoğunluk:** Sahadan alınan numunelerden Etibank Alüminyum Tesisleri Genel Labratuvarlarında yapılan deneylerden cevher yoğunluğunun  $2.95-3.05 \text{ gr/cm}^3$  arasında olduğu tespit edilmiştir (PELEN, 1977).

**Doku :** Doğankuzu Güney Bloktan alınan boksit örneklerinin ince kesitleri genellikle, oolit ve pizolitlerden, matriksin ise opak minerallerden olduğu görülür(KARADAĞ,1987).

**Mekanik Özellikler:** Doğankuzu Boksit yatağında cevher oldukça kırılgan ve gevrek bir yapıda olup, tektonizma esnasında bünyesinde pek çok primer ve sekonder çatlaklar oluşmuştur. Bu çatlaklar genellikle birbirini kesen dik doğrultudadırlar. Yüzeyde bulunan kısım, oksitlenme, ısınma ve soğuma etkileriyle toprağımsı bir görünüm kazanmıştır. Gevrek ve kırılgan yapısından dolayı sondajlardan örnek alınamamıştır. Bu yüzden mekanik deneyler sadece yankayacı oluşturan kireçtaşı örneklerinden yapılmıştır.

#### 3.4.2. Kimyasal Özellikler

Doğankuzu boksitlerinden alınan, boksit örnekleri üzerinde MTA ve Etibank Alüminyum Tesisleri Genel Labratuvarlarında

yapılan kantitatif kimyasal analizler sonucu  $\text{Al}_2\text{O}_3$  tenörünün % 32.62 - 64.84 arasında,  $\text{SiO}_2$  tenörünün % 2.05 - 18.15 arasında değiştiği, silis modülü ise (%  $\text{Al}_2\text{O}_3$  / %  $\text{SiO}_2$  ), yaklaşık 8.28 olarak tespit edilmiştir (FELEN 1977).

Silis modülü, yatağın ekonomikliği açısından önemli olup, 7.0 değerinin altındaki boksit yatakları ekonomik olarak değer taşımazlar.

### 3.4.3. Mineralojik ve Petrografik Özellikler

Doğankuzu boksitlerini böhmİt minerali oluşturmaktA olup, Etibank Alüminyum Tesisleri Genel Labratuvarlarda yapılan kantitatif analizler sonucu, ana mineral böhmİtten başka az miktarda diyaspor ile alümojen, kaolonit, hematit, götit Lepidokrosit ve limonit, matitleşmiş manyetitler, titan minerali olarak anatas ve rutil, az miktarda tridimit ile genellikle pirit ve markasit, nadiren kalsit, siderit, piroluzit ve psilomelan gibi mineraller gözlenmiştir. Böhmİt minerali cevherin % 60 - 63'ünü,  $\text{SiO}_2$  mineralleri ise, ikinci önemli mineral olarak cevherin % 15 - 18'ini oluşturmaktadır (KARADAĞ, 1987).

### 3.5. Ortam Kayacın Özellikleri

Doğankuzu Güney Blok Boksit Ocağında, ana yan kayaç kireçtaşları olup, iki kısımda incelenebilir. Bunlar boksit tabanında bulunan taban kireçtaşı ( $Krü_1$ ) ve arasındaki boksitli breş sebebiyle yine iki kısımda incelenen ikinçi ve üçüncü kireçtaşı ( $Krü_2$ ,  $Krü_3$ ) seviyeleridir.

#### 3.5.1. Fiziksel Özellikler

**Renk:**  $Krü_1$  olarak adlandırılan taban kireçtaşı arazide gri, koyu gri tonlarda izlenmekte, boksite yakın kısımlarda pembemsi bir renk almaktadır. Bu renklenme boksit yıkanmasından dolayı oluşmaktadır. Boksitli breş sebebiyle iki kısımda incelenen tavan kireçtaşlarından  $Krü_2$  çevher yatağının üzerinde yer alır ve  $Krü_3$ 'e göre daha açık renklidir. En üst seviyede yer alan  $Krü_3$  koyu gri, siyahımsı ve koyu gri bantlar halinde izlenmektedir.

**Yoğunluk :** Doğankuzu Güney Bloktan alınan örneklerden yapılan deneylerde, her üç formasyonda da birbirine yakın değerlerde yoğunluk tesbit edilmiş olup, bu değerler  $2.65-2.75 \text{ gr/cm}^3$  arasında değişmektedir (PELEN, 1977).

**Doku :**  $Krü_1$  olarak adlandırılan taban kireçtaşı masif ve çok ince taneli olarak gözlenmektedir. Tavan kireçtaşı formasyonları ise daha iri kristalli olarak izlenmektedir. **Mekanik Özellikler :** Doğankuzu Güney Blok Boksit Yatağında ana yan kayacı oluşturan kireçtaşı formasyonları, sahanın kuzey kesimlerinde sağlam kaya özelliklerine daha yakın olarak gözlenmektedir.

#### 4. LABRATUVAR DENEYLERİ

Çalışma sahasında, ana formasyonu oluşturan kireçtaşı üzerinde, jeomekanik özelliklerin ortaya çıkarılmasına ve şev duraylilik analizlerinde kullanılmasına yönelik deneyler, H.Ü. Maden Mühendisliği Kaya Mekanığı Labratuvarda gerçekleştirilmiştir.

##### 4.1. Tek Eksenli Sıkışma Dayanımı

Tek eksenli sıkışma dayanımı testlerinden elde edilen sonuç, makaslama dayanımı sonucunun yorumunda kullanılabildiği gibi, kayacın sağlamlığı ve taşıyacağı yük hakkında da fikir verir.

Bu deney için üç kireçtaşı formasyonunda 14 karot örneği alınmış ve bunların boy-çap oranları (L/D) 2,5-3,0 arasındaki değerlerde uygun bir şekilde hazırlanmıştır. Bu deneylerden dört adedi tabakalanmaya dik diğerleri ise tabakalanmaya paralel yöndedir.

Tek eksenli sıkışma dayanımının hesaplanması (4.1) bağıntısından yararlanılmıştır.

$$\sigma_c = P/A \quad (4.1)$$

$\sigma_c$  = Tek eksenli sıkışma dayanımı ( $\text{kgf}/\text{cm}^2$ ) (MPa)

P = Toplam Yük (kgf)

A = Örneğin kesit alanı ( $\text{cm}^2$ )

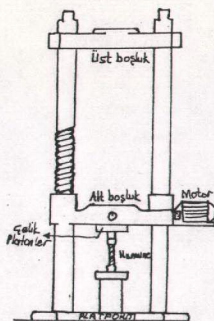
Deneysel, H.Ü. Maden Mühendisliği Kaya Mekanığı Labratuvarda 20 ton kapasiteli, oynar başlıklı pres ile gerçekleştirilmiş olup, sonuçlar Çizelge 4.1 de, deney düzeneği şekil 4.1 de verilmiştir.

Gerçekleştirilen tek eksenli sıkışma dayanımı testlerinden her üç kireçtaşı formasyonunun sağlam ve orta sağlamlıkta kayaç olduğu anlaşılmıştır (Ulusay, 1989), (Çizelge 4.2).

Formas-yon	Deney No:	D(çap) cm	I(boy) cm	P(kgf)	T(zaman)	Tabak-lanma	$\sigma_c$ (kgf/cm <sup>2</sup> )	Tek Eks.Sık.Day.
Krü <sub>3</sub>	1	5,472	15,198	26,60	12'45"	dik	1131	113,1
	2	5,481	14,232	22,20	12'06"	parallel	940	94,0
	3	5,481	15,950	21,40	10'05"	dik	907	90,7
	4	5,482	14,684	23,40	15'08"	dik	991	99,1
	5	5,472	15,090	21,20	12'00"	dik	901	90,1
Krü <sub>2</sub>	1	5,454	13,818	19,80	8'50"	dik	848	84,8
	2	5,454	14,250	17,18	8'15"	dik	735	73,5
	3	5,438	14,410	21,80	8'30"	parallel	939	93,9
	4	5,488	12,658	18,90	7!30"	dik	799	79,9
	5	5,450	12,650	23,90	10'10"	parallel	1025	102,5
Krü <sub>1</sub>	1	5,458	14,400	19,20	9'10"	dik	821	82,1
	2	5,460	12,900	20,10	11'05"	dik	858	85,8
	3	5,454	13,850	20,05	12'00"	dik	858	85,8
	4	5,454	13,800	19,50	10'30"	parallel	835	83,5

Gizelge : 4.1. Tek eksenli sıkışma dayanımı deney sonuçları

(1 Mpa = 10 kgf/cm<sup>2</sup> alımlıdır).



**Şekil 4.1.** Tek eksenli basınç dayanımı deney düzenegi

#### 4.2. Makaslama Dayanımı

Makaslama dayanımı, kayacın makaslama gerilmeleri karşısındaki direnci olarak tanımlamaktadır.

Bu deney için Krüz formasyonundan beş adet örnek hazırlanmıştır. Makaslama dayanımı deneyleri Şekil 4.2 de gösterilen makaslama kutusu (direk makaslama) ve 114 ton kapasiteli oynar başlıklı pres ile gerçekleştirılmıştır.

Direk makaslama dayanımının hesaplanması (4.2) bağıntısı kullanılmış, deney sonuçları Çizelge 4.3 de verilmiştir.

$$\mathcal{C} = \frac{2 \times F_c}{\pi \times D^2} \quad (4.2)$$

$\mathcal{C}$  = Makaslama dayanımı ( $\text{kgw}/\text{cm}^2$ )

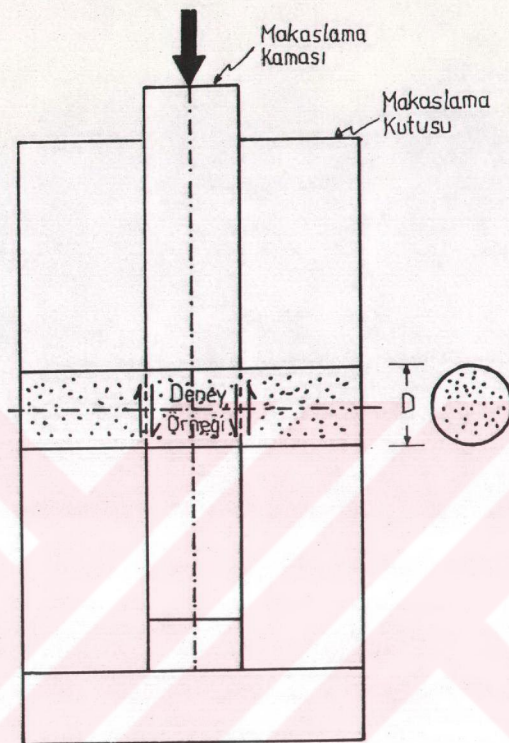
$F_c$  = Yenilme kuvveti ( $\text{kgf}$ )

$D$  = Örnek çapı ( $\text{cm}$ )

$\pi$  = Pi

Tanım	Tek eksenli sıkışma dayanımı	
	kgf/cm <sup>2</sup>	Mpa
Çok zayıf kayaç: Jeolog çekicinin sıvri ucunun sert darbeleri altında parçalanır, çakı ile kazılır.	10-250	1-25
Zayıf Kayaç: Çakı ile kesilmesi ve kazınması zordur. Jeolog çekicinin sıvri ucu, sıkı bir darbe sonucu derince saplanır.	250-500	25-50
Orta Sağlamlıkta Kayaç: Çakı ile kazınamaz, Jeolog çekicinin sıvri ucu ile vurulan sert bir darbe ile kazma ucu izi bırakır.	500-1000	50-100
Sağlam Kayaç : Avuç içinde tutulan örnek, Jeolog çekici ile vurulan sert bir darbe ile kırılır.	1000-2000	100-200
Çok sağlam kayaç: Çatlaksız bir örneğin kırılması için Jeolog çekici ile çok sayıda darbe gerekir.	2000	200

Çizelge : 4.2. Kayaçların dayanımları tayin ölçütleri  
(Ulusoy, 1989).



Şekil 4.2: Direk makaslama dayanımı testi deney düzeneği

Deney No	Örnek Çapı cm (D)	Yenilme Yükü kgf (fc)	Makaslama kgf/cm <sup>2</sup>	Dayanımı (τ) Mpa
1	2,50	950	97,0	9,70
2	2,50	1350	137,5	13,75
3	2,50	750	76,5	7,65
4	2,50	1100	112,0	11,20
5	2,50	1300	132,4	13,24

Çizelge 4.3. Krüz formasyonuna ait direk makaslama deney sonuçları (1 Mpa = 10 kgf/cm<sup>2</sup> alınmıştır).

## 5. KAYAÇ KÜTLE SINİFLAMASI

### 5.1. Cevherin Tanımı

Doğankuzu Güney Blok Boksit Yatağında, cevher (Boksit) açık pembeşî kırmızıdan, koyu kahverengi tonlara kadar değişiklik gösterir. Çapraz laminalı, olduğu kısımlarda süreksizlik aralıkları 0-3 mm. arasında değişmektedir. Kapalı (sıkı) durumda süreksizlikler eklem ve nadiren klivaj şeklindedir. Süreksizlik düzlemleri, genellikle birbirini dik olarak kesen birinci ve ikincil süreksizlikler olarak değerlendirilebilir. Tabaka yüzeyleri, muntazam basaklı, sıkça pürtüzlü ya da düzensiz dalgalı eklem ve klivaj yüzeyleri ise, düz ve bazen parlak kaygan olarak izlenmekte olup, ölçülebilen uzunlukları 0.01-1.1 m. arasında izlenmekte, devamlılıkları oldukça düşüktür. Kırılan ve gevrek yapıda olan cevher kütlesi zayıf kayaç sınıfına dahil edilebilir. Su geçirgenliği oldukça zayıf olup, şev aynasında ve mostralarda renk açık pembe ve toprağımsı bir doku kazanmıştır. Yüzeyden 10-20 cm. iç kesimlerde bozulmamış cevhere ulaşılabilir.

### 5.2. Yankayacı Tanımı

Doğankuzu Güney Blok Boksit Yatağında yankayacı oluşturan kireçtaşı formasyonlarından tavan kireçtaşları ( $Kr_{ü_2}$ ,  $Kr_{ü_3}$ ) taban kireçtaşına oranla daha koyu gri ve grimsi siyah bantlar halindedir. Tüm kireçtaşı formasyonları birbirine uyumlu, düzenli tabakalar halindedir (Şekil 3.2). Tabakanın kalınlıkları 0.1-5.0 m. arasında değişmektedir (Şekil 5.1.).



Şekil 5.1. Tabakalanma Kalınlıklarının şev aynasında görünümü.



Şekil 5.2. Tabakalanma yüzeylerinde pürüzılık

Tabakalanma yüzeyleri genellikle, pürüzlü ya da düzensiz dalgala ( Şekil 5.2. ) devamlılıkları 20.m.nin üzerinde gözlenmektedir. Şev aynasında izlenen kütle ile ana

kayaç arasında fazlaca bir renk değişimi bulunmayıp, orta sertlikte kayaç sınıfına dahil edilmektedir.

Kireçtaşlı formasyonlarında hakim süreksızlık türlerinden bir diğeri de çatıtlaklar olup, tabaka doğrultularına dikey yakını ve paralel uzanan faylar ile aynı veya yakın doğrultudadır. Bazen çapraz olarak birbirlerini keserler. Çatıtlak aralılığı mesafeleri, 0-60 mm. arasında, çoğunlukla kapalı ve sıkı olarak izlenirler (Şekil 5.3.). Çatıtlak yüzeyleri genellikle düz ve az dalgalıdır. Coğunlukla dolgu malzemeleri içermezler ve devamlılıkları, 0.1-3 m. arasında değişmektedir.



Şekil 5.3. Çatıtlakların Görünümü

İki grupta incelenen faylarda ise, 0.2-1 m. arasında aralıklar tespit edilmiş olup, genellikle terra-rosa türü toprak, kalsit ve kalsit, kil dolgulu olarak gözlenmektedir. Bu süreksızlık yüzeyleri genellikle muntazam dalgalı, bazen pürüzlü ve dalgalı olarak izlenmektedir. Kayaç kütle tanımlamalarına ait diyagramlar (ISRM, 1978), (Şekil 5.4. te tablo değerleri ise, Çizelge 5.1'de sunulmuştur.

### 5.3. Kayaç Kalite Tanımlaması (RQD)

Bu tanımlama kayaç kütlesinin tanımlanmasında ve şev di-zaynlarlarında kullanıldığından kaya kütle sınıflaması bölümünde verilmiştir. RQD adıyla tanımlanan yöntem, karotlu ilerlemelerde karot veriminin bir başka ifadesi olup elde edilen sonuç formasyonların kırık-çatlak yoğunluğu ile ilgili fikir vermektedir. RQD yönteminin şev stabilitesine uygulanması ise, RQD değerlerinin saptanmasıyla değer kayaç çok kırıklı bir durum gösteriyorsa, ufalanabilen ve zayıflık düzlemleri bol bir kayaç olarak kabul edilir. Bu tür formasyonda öncelikle dairesel kayma düşünülebilir (Ulusay, 1982).

RQD karot loglarına göre değerlendirilmekte olup, 10 cm. (4 inç) veya daha uzun olan, sağlam karot parçalarının toplam sondaj uzunluğunun, toplam karot uzunluğuna oranı şeklinde tanımlanır.

$$RQD \% = \frac{L_p}{L_t} \times 100 \quad (5.1.)$$

$L_p$  = 10 cm'den uzun karotların toplam uzunluğu(m.)

$L_t$  = Toplam karot uzunluğu (m.).

Çalışma sahasında, 1962 yılından bu yana toplam 43.585 m. sondaj yapılmış olup, sondaj sandıklarının büyük kısmı korunamamış veya çögünün bir kaç kez kullanılmış olmasından dolayı hangi sondaja ait olduğu tesbit edilememiştir. Bu nedenle istenilen miktarda RQD değeri elde edilememiştir. Hesaplanan RQD değerleri Çizelge 5.2'de verilmiştir. Yapılan hesaplamalara göre kireçtaşı ( $Kr_{ü_1}$ ,  $Kr_{ü_2}$  ve  $Kr_{ü_3}$ ) ve kireçtaşı + boksit için RQD, orta, iyi kalitede gözükmetedir. RQD tanımlamasına ait tablo değerleri çizelge 5.3 de sunulmuştur (Ulusay, 1982).

**Süreksizlik Aralıklarının Sınıflandırılması**

<u>Tanım</u>	<u>Aralık(mm)</u>
Sonderece kapalı aralık	20
Çok kapalı aralık	20-60
Kapalı Aralık	60-200
Orta aralık	200-600
Geniş aralık	600-2000
Çok geniş aralık	2000-6000
Son derece açık aralık	6000

**Süreksizlik Pürüzlülüğü**

<u>Sınıf</u>	<u>Tanım</u>
I	Pürüzlü ya da düzensiz basamaklı
II	Düz(durgun)basamaklı
III	Muntazam basamaklı
IV	Pürüzlü yada düzensiz dalgalı
V	Düz (durgun) dalgalı
VI	Muntazam dalgalı
VII	Pürüzlü düzlemsel
VIII	Düz (durgun)düzlemsel
IX	Muntazam düzlemsel

**Süreksizlik Devamlılığı Sınıflaması**

<u>Tanım</u>	<u>Takip Edilen Uzunluk (m)</u>
Çok düşük devamlılık	1
Düşük devamlılık	1-3
Orta Darlık	3-10
Yüksek devamlılık	10-20
Çok yüksek devamlılık	20

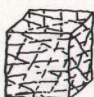
Çizelge: 5.1. Kaya Kütle Sınıflaması (ISRM. 1978).

Sondaj No	Toplam Derin- lik(m)	Alınan Karot Uzunluğu (m)	Bü- yük Karot uzun- luğu(m)	R Q D ( % )							
				Kireçta- şılı	Bok- sit	Kireç- teşti	Boksit	Kireç- teşti	Ortalama	Bok- sit	Kireçta- şılı+Boksit
D-100	55	24,70	0,95	18,00	-	72,8				70,0	
D-101	73	42,17	0,70	26,00	-	61,7				60,6	
D-104	73	40,10	1,90	29,30	-	73,3				69,7	
D-106	80	41,70	0,85	32,50	-	77,9				76,3	
D-107	82	40,00	2,70	31,10	-	77,7				72,8	
D-108	134	62,55	-	53,00	-	84,7				84,7	

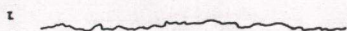
Çizelge 5.2. Hesaplanan RQD değerleri

RQD (Kayaç kalite değeri (%) )	Kayaç Kalite tanımlaması
0 - 25	Çok kötü
25 - 50	Kötü
50 - 75	Orta
75 - 90	İyi
90 - 100	Çok iyi

Çizelge 5.3. Kayaç kalite tanımlaması (Ulusay, 1982)



### Süreksizliklerin Devamlılığı



Kapalı Aralık



Açık Aralık



Geniş Aralık

### Pürüzlülük Sınıflaması

### Süreksizlik Aralıkları

Şekil 5.4. Kayaç Kütle Sınıflamaları (ISRM, 1978).

## 6. ŞEV STABİLİTE ANALİZLERİ

Günümüzde hızla yaygınlaşan yüksek kazı projelendirme-lerinde iki ayrı karşıt istekle karşılaşılır. Bunlar,

- Şevlerin dikleştirilmesi ve böylece azalacak dekopaj sonucu kazanılacak maddi tasarruf,
- Şevlerin dikleştirilmesi ile oluşabilecek kay- malar sonucu ocak emniyetinin azalması.

Öngörülen bir açık işletmenin, ilk fizibilite çalışma-ları sırasında cevher (dekopajın hesaplanabilmesi , ca- lişan bir ocakta meydana gelebilecek kaymaların önceden tahmin edilip gerekli önlemlerin alınabilmesi için emni- yetli şev açılarının saptanması gerekmektedir.

Bu çalışmada, (PELEN,1977) tarafından tanzim edilen tek-tonik harita gözönüne alınarak, özellikle sahanın karakteriğini oluşturan kırık, çatlak ve tabaka düzlemlerinde ölçümler alınmıştır.

Sahadaki kayaçların gözlenebilen mekanik özelliklerini ve mümkün kayma düzlemlerine göre seçilmiş dört alt bölge ayrı ayrı ele alınmak suretiyle, bu bölgelerdeki sürekli-liklerin eğim ve eğim yönlerine ait kutup noktaları stereonetlere işlenmiş ve böylece sahanın kinamistik analizi için veriler toplanmıştır.

Grafiksel analizler, Lambert projeksiyonu veya Schmidt diyagramı olarak tanımlanan eş-alan projeksiyonu ile yapılmıştır.

### 6.1. Mümkin Kayma Türleri

Doğankuzu Güney Blok Boksit Yatağında kayma oluşturabi-lecek bölgeler, B, GB, G , GD, KD hattı boyunca yer alan bölgeler olup, gözlenen ve mümkün kayma türleri, kama, düzlemsel ve devrilme türü kaymalarıdır.

Çalışma sahasının batı kesiminde devrilme (Şekil 6, 1), güneybatı kesiminde kama (Şekil 6.2) tipi kayma yapıları gözlenmiştir.



Şekil 6.1. Batı kesiminde gözlenen devrilme türü kayma yapıları



Şekil 6.2. Güneybatı kesiminde gözlenen kama türü kayma yapıları

Çalışma sahamızda bulunan kayaçların karstik bir yapıya sahip olması nedeniyle, bölgede şev duraylılığını etkileyebilecek bir yeraltı su problemi olmayacağı kabul edilmiştir.

#### 6.2. Ocağın Bölgeler İtibarıyle Değerlendirilmesi

Doğankuzu Güney Blok Boksit Yatağında, tespit edilen süreksizliklerin mekanik davranışları ve diğer özelliklerini gözönüne alınarak, saha dört bölgeye ayrılarak incelenmiştir. Gözlemebilen kayma şekilleri ve ocak durumu ile ilgili veriler aşağıda verilmiştir.

- GB bölgesinde kama türü kayma sonucu kayma düzlemi yüzeylerinin, şev aynasında gözlebilmesi
- Ocak şev yüksekliğinin GB, G, GD kesimlerinde, KB,K,KD kesimlerine oranla 65-82 m.daha düşük olması
- GB, G, GD bölgelerinde süreksizliklerin daha sık olarak görülmesi
- KB, B, KD kesimlerinde ana formasyonu oluşturan kireçtaşının daha masif görünüm göstermesi
- Tektonik haritadan da görüleceği üzere büyük fayların GB-KD, bunların dik yönde gelişmiş, nispeden daha küçük olanların, D-B istikametinde gelişmiş olduğunu görülmesi.

Yukarıda sıralanan özelliklere göre ayrılan dört alt bölgeye ait süreksizliklerin stereo-net üzerindeki kutup noktalarının kümelenmesiyle kontur diyagramlar oluşturulmuş ve üzerlerinde kayma analizleri yapılmıştır. Çalışma sahanından ayrılan alt bölgeler Ek: 2 deki tektonik harita üzerinde kroki halinde verilmiştir.

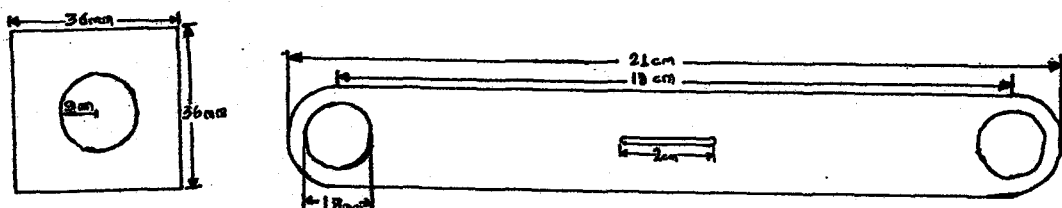
### 6.3. Kontur Diyagramlar

İnceleme sahasında elde edilen süreksizliklerin eğim ve eğim yönlerine ait kutuplar, stereo-net üzerine işaretlenmiş, bu noktaların konturlanmasında Şekil 6.3'de görülen "nokta sayıcıları" (kenar ve iç sayıcıları) kullanılmıştır.

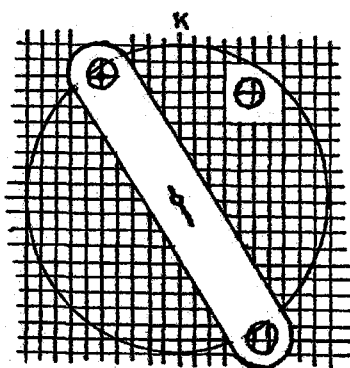
Stereo-net 1/100 alana bölünmüştür, % 1'lik alana isabet eden kutup noktalarının sayısı karelaj kesimlerine yazılmıştır. Bu işlem için kullanılan ve 100 eşit alana bölünen stereo-net Şekil 6.4'de verilmiştir. Karelaj kesimlerine yazılan kutup sayıları, tüm saha için ayrılan dört alt bölümde tespit edilen süreksizlik sayısına bölünerek yüzde cinsinden değerlendirilmiştir. Buna örnek olarak, birinci bölge için, toplam 66 süreksizlik kutup sayısı için, karelajda 3 adet kutup sayılmışsa, kutup yoğunluğu  $(3/66) \times 100 = \% 4.54$  olarak bulunur. Bulunan kutup yoğunluk değerlerinin büyük kısmı kesirli olduğu için aşağıda verilen yüzde aralıklarında verilmiştir.

% 2, % 2-4, % 4-6, % 6-8, % 8-10, % 10-12, % 12

Aynı yüzde aralığında bulunan karelaj kesimleri, eşdeğer egrilerle birleştirilerek, kutup kümelerinin daha iyi gözlenebilmesi için tarama işlemi uygulanmıştır.



Şekil 6.3. Kutupların sayımında kullanılan kenar ve iç sayıcılar



**Şekil 6.4.** Kutupların sayımı için kullanılan 1/100 eşit alana bölünmüş stereo-net.

#### 6.3.1. Birinci Alt Bölgenin Konturlanması

Çalışma sahasının birinci alt bölgesinde tespit edilen 66 adet süreksizlik düzlemine ait kontur diyagram ve kutuplaşmaların oluşturduğu ana süreksizlik düzlemleri (Ek 5 a) da sunulmuştur. Buna göre hakim süreksizlik düzlemleri 52 KB/30 GB, 54 KD/90 GD, 50 KD/83 GB yönlerinde yoğunlaşmaktadır.

#### 6.3.2. İkinci Alt Bölgenin Konturlanması

Çalışma sahasının ikinci alt bölgesinde tespit edilen 128 adet süreksizlik düzlemine ait kontur diyagram ve kutuplaşmaların oluşturduğu ana süreksizlik düzlemleri (Ek 5 b) de sunulmuştur. Buna göre hakim süreksizlik düzlemleri 54 KB/58 KD, 28 KD/96 KB, 50 KD/80 KB yönlerinde yoğunlaşmaktadır.

#### 6.3.3. Üçüncü Alt Bölgenin Konturlanması

Çalışma sahasının üçüncü alt bölgesinde tespit edilen 112 adet süreksizlik düzlemine ait kontur diyagram ve kutuplaşmaların oluşturduğu ana süreksizlik düzlemleri (Ek 5 c) de sunulmuştur. Buna göre hakim süreksizlik düzlemleri 40 KB/65 KD, 40 KD/78 GD, 28 KD/75 KB yönlerinde yoğunlaşmaktadır.

#### 6.3.4. Dördüncü Alt Bölgenin Konturlanması

Çalışma sahasının dördüncü alt bölgesinde tespit edilen 60 adet süreksizlik düzlemine ait kontur diyagram ve kütüplasmaların oluşturduğu ana süreksizlik düzlemleri (Ek 5 d) de sunulmuştur. Buna göre hakim süreksizlik düzlemleri 45 KB/60KD, 64 KD/70 GD, 34 KD/86 KB yönlerinde yoğunlaşmaktadır.

Hakim süreksizlik düzlemlerinin eğim ve eğim yönleri çizelge 6.1 de verilmiştir.

#### 6.4. Süreksizlik Düzlem Verilerine Göre Kinematik Analiz

Çalışma sahasında ayrılan dört alt bölgedeki süreksizlik düzlemlerine ait kutup noktalarından oluşturulan kontur diyagramlarının konumlarına göre değerlendirme yapılarak kayma analizleri yapılmıştır.

Analizler esnasında kullanılan kireçtaşının içsel sürtünme açısı ( $\phi$ ) daha önceki yıllarda İTÜ labratuvarlarında tespit edilen  $38^{\circ}$  ve bu değerin kireçtaşı formasyonları için en kötü koşullarda  $30^{\circ}$ ye düşebileceği gözönüne alınarak iki adet ( $\phi$ ) eğrisi çizilmiştir. Ayrıca bu değerin süreksizlik zonlarında terra rosa türü toprak ve kalsit, kıl dolgular sebebiyle daha da düşebileceği gözönüne alınmıştır (Hoek ve Bray, 1977).

Ortamın karstik bir yapıda olması ve kırık çatılar sisteminden dolayı süreksizlik zonlarında su basıncı bulunmadığı kabul edilmiştir.

Bu verilere göre ;

Birinci alt bölge,

- KB bölgesinde 4 nolu süreksizlik takımının düzlemsel kayma meydana getirme olasılığı bulunmaktadır. Ayrıca bu bölgede, aralarında yaklaşık  $90^{\circ}$  açı bulunan 2 ve 4 nolu süreksizlik takımlarının kesim noktası ( $I_{2,4}$ ) ile 3 ve 4 nolu süreksizlik takımlarının kesim noktası ( $I_{3,4}$ ),  $30^{\circ}$  lik içsel sürtünme dairesi sınırlına düşmektedir (Ek 5a).

### İkinci alt bölge

- GD bölgesinde 2 ve 3 nolu süreksizlik takımlarının eğimleri dike yakın ( $72^\circ$ ,  $83^\circ$ ) olduğundan devrilme türü kaymalara neden olabilecektir. 1 ve 4a, 4b nolu süreksizlik takımlarının ise kama kaymaları meydana getirmesi bu bölgenin batı kesimlerde şev eğimlerinin düşmesi halinde görülecektir( Ek 5 b).

### Üçüncü alt bölge

- GB bölgesinde aralarında yaklaşık  $90^\circ$  açı bulunan 1 ve 2 ve  $80^\circ$  açı bulunan 1 ve 3 nolu süreksizlik takımlarının kesim noktaları ( $I_{12}$  ve  $I_{13}$ )  $55^\circ$  lik şev aynasına yakın gözükmektedir. 2 ve 3 nolu süreksizlik takımlarına ait düzlemlerin kesim noktası ( $I_{23}$ ) şev aynasına dik ve  $30^\circ$ lik içsel sürtünme açısını oluşturan daireye yakındır. Bu bölgede şev aynasına dik konumdaki 1 nolu süreksizlik takımının düzlemsel kayma olasılığı da bulunmaktadır(Ek 5 c).

### Dördüncü alt bölge

- KB bölgesinde kama türü kayma olasılığı bulunmamakla beraber 3 nolu süreksizlik takımının batı kesimlere doğru devrilmelere neden olabileceği söylenebilir( Ek 5 d).

## 6.5. Yanlızca İçsel Sürtünme Açısı İçeren Kama Tipi

### Kayma Bloğu Duraylılık Analizi

İnceleme sahasında tespit edilen süreksizliklerin eğim ve eğim yönlerinden çizilen kontur diyagramlardan elde edilen ana süreksizlik düzlemlerinin eğim ve eğim yönleri çizelge 6.2 de verilmiştir.

kohezyonsuz ve tamamen drene olmuş, diğer bir değişle kuru düzlemlerde emniyet katsayısunın hesaplanması için 6.1 bağıntısı kullanılmıştır (Hoek ve Bray, 1977).

$$F = A \tan \phi + B \tan \phi B \quad (6.1)$$

F = Emniyet katsayısi

A, B = Kama geometrisine ait birimsiz katsayılar

$\phi_A, \phi_B$  = Süreksizlik takımlarının oluşturduğu düzlemlere ait içsel sürtünme açıları

A ve B düzlemlerine ait içsel sürtünme açıları en kötü koşullarda kireçtaşı için  $30^\circ$  ye düşebileceğinden (Hoek ve Bray, 1977) hesaplamalar bu değer gözönüne alınarak yapılmıştır. Bu bağıntıların kullanılabilmesi için gerekli A ve B katsayıları bir seri diyagramdan elde edilmiştir (Hoek ve Bray, 1977). Kullanılan bu diyagramlar Ek 6 da verilmiştir.

Kama tipi kayma meydana gelebilecek alt bölgelerden birinci alt bölgede 3 ve 4 ile 2 ve 4 nolu süreksizlik takımlarının oluşturduğu düzlemlerin kesim noktaları ile ikinci alt bölgede 3 ve 1 ile 2 ve 1 , 2 ve 3 nolu süreksizlik düzlemlerinin kesim noktaları konumları itibariyle kama kaymaları meydana getirebilecektir. Bu düzlem çiftlerine göre hesaplanan emniyet katsayısı değerleri çizelge 6.2 de verilmiştir.

Emniyet katsayısının hesaplanması örnekle olara, birinci alt bölgedeki 4 ve 2 nolu süreksizlik takımlarının eğim farkları ( $70^\circ - 30^\circ$ ) =  $40^\circ$  ve eğim yönü farkları (= $218^\circ - 126^\circ$ ) =  $92^\circ$  olarak bulunur. Eğim farkı  $40^\circ$  olan A diyagramında, A katsayısı,  $92^\circ$  lik eğim yönü farkı ve  $30^\circ$  lik eğim eğrisine göre 1,7, eğim farkı  $40^\circ$  olan B diyagramında, B katsayısı,  $92^\circ$  lik eğim yönü farkı ve  $70^\circ$  lik eğim eğrisine göre 0,25 olarak bulunur. Buradan  $30^\circ$  lik içsel sürtünme açısı için emniyet katsayısı 6.1 bağıntısına göre;

$$\begin{aligned} F &= 1,7 \tan 30 + 0,25 \tan 30 \\ &= 1,13 \end{aligned}$$

olarak bulunur.

Birinci alt bölge

Süreksizlik Takımı	Eğim yönü/Eğim	Eğim yönü/Eğim
4	218/30	52 KB/30 GB
2	126/70	54 KD/70 GD
3	310/83	50 KD/83 GB

İkinci alt bölge

Süreksizlik Takımı	Eğim yönü/Eğim	Eğim yönü/Eğim
1	36/58	54 KB/28 KD
4 a	332/76	28 KD/76 KB
4 b	310/80	50 KD/80 KB

Üçüncü alt bölge

Süreksizlik Takımı	Eğim yönü/Eğim	Eğim yönü/Eğim
1	50/65	40 KB/65 KD
2	320/78	40 KB/78 KD
3	152/75	28 KD/75 KB

Dördüncü alt bölge

Süreksizlik Takımı	Eğim yönü/Eğim	Eğim yönü/Eğim
1	45/60	45 KB/60 KD
2	116/70	64 KD/70 GD
3	326/86	34 KD/86 KB

Çizelge 6.1. Süreksizlik düzlemlerine ait eğim ve eğim yönleri (Derece)

Birinci alt bölge

Süreksizlik Çifti	Emniyet katsayısı
3 - 4	1,12
2 - 4	1,13

Üçüncü alt bölge

Süreksizlik Çifti	Emniyet katsayısı
3 - 2	4,6
3 - 1	0,46
2 - 1	0,38

Çizelge 6.2. Kama tipi kayma meydana getirebilecek süreksizlik çiftlerinin emniyet katsayıları.

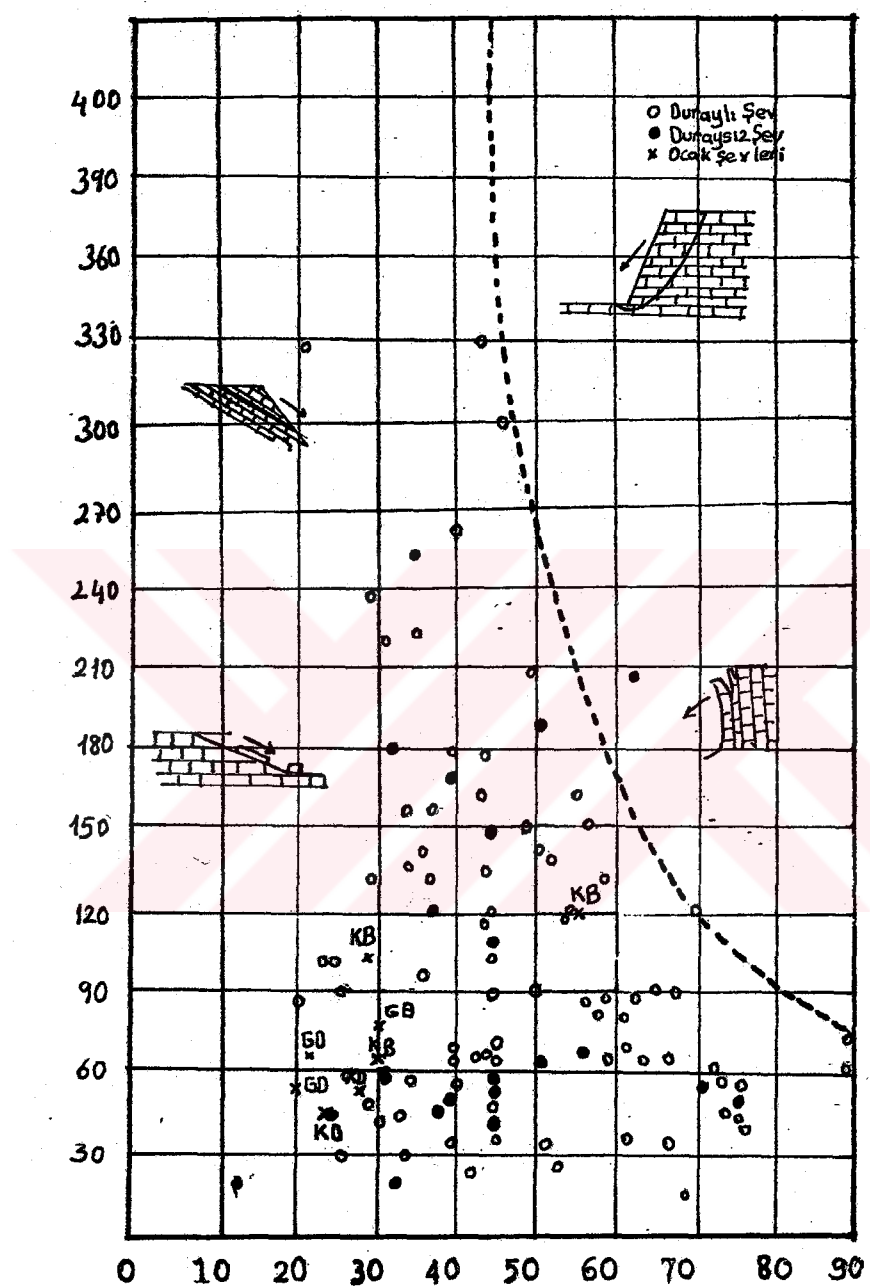
### 6.6. Şev Yüksekliği - Şev Açısı İlişkisi

Çalışma sahasında genel şev açısı ve basamak şev açılı-  
rı değişiklik göstermektedir. Özellikle KB, K ve KD kesimler  
kesimleri diğer kesimlere göre daha yüksek ve dik şev-  
lerden oluşmuştur. Bu durum ocağa ait (Ek. 4) de veri-  
len 1/2000 ölçekli kesitlerde de gözlenmektedir.

Buna göre,

- 1-1' kesitinde genel şev açısı KB kesiminde 1609 - 1713 kademeleri arasında  $29^{\circ}$  ve şev yük-  
sekliği 104 m., GD kesiminde genel şev açısı  $22^{\circ}$   
ve ocak tabanından itibaren 64 m. yüksekliktedir.
- 2-2' kesitinde genel şev açısı, KB kesiminde  $55^{\circ}$   
ve 1622 kademesinden itibaren (20 m yükseklikte,  
GD kesiminde genel şev açısı  $20^{\circ}$  ve ocak tabanın-  
dan itibaren 52 m. yüksekliktedir.
- 1 A- 1A' kesitinde genel şev açısı KD kesiminde  
1609 kademesinden itibaren  $28^{\circ}$  ve 52 m yüksek-  
likte, KB kesiminde genel şev açısı  $30^{\circ}$  ve ocak  
tabanından itibaren 64 m. yüksekliktedir.
- 2 A- 2A' kesitinde genel şev açısı KD kesiminde  
 $24^{\circ}$ , 1609 kademesinden itibaren 56 m yükseklikte,  
GB kesiminde  $30^{\circ}$  genel şev açısı ve 78 m. ocak  
yüksekliği hesaplanmıştır.

Elde edilen değerler kaya şevlerinde, şev açısı - şev  
yüksekliği ilişkisini gösterir diyagram (Hoek ve Bray,  
1977) üzerinde gösterilmiştir (Şekil 6.4.).



Şekil 6.5. Kaya Şevlerinde, şev açısı - şev yüksekliği ilişkisi (Hoek ve Bray, 1977) (1 ft = 30 cm olarak alınmış tır).

### 6.7. Analizlerin Yorumlanması

Yapılan kinematik analiz, sadece içsel sürtünme açısı içeren kama bloğu duraylılık analizi ve kaya şevlerinde şev açısı - şev yüksekliği ilişkileri gözönüne alınarak, çalışma sahasında ayrılan alt bölgelerde şu yorumlar yapılabilir.

- Birinci alt bölgede, 2 ve 4 ile 3 ve 4 nolu süreksızlık düzlemleri  $30^{\circ}$  lik içsel sürtünme dairesi üzerinde keşimektedir. Bu süreksızlık çiftlerine ait emniyet katsayıları 1,12 ve 1,13 olarak hesaplanmış ancak yalnızca içsel sürtünme açısını içeren emniyet katsayısidır. Yapılan birçok hesaplamalar, kama tipi bloğun duraylılığı için, emniyet katsayıısının 2.0 nin üzerinde olması, en kötü şartlarda dahi yeterli olacaktır (Hoek ve Bray, 1977). Bu bölgede cevher tabakasının ve boksitli breşin bulunması içsel sürtünme açısını düşüreceği kaçınılmazdır. Bu yüzden özellikle 1609 kademesinden sonra dikleşen basamak şev açılarının ( $15^{\circ}$ - $70^{\circ}$ ),  $43^{\circ}$ - $45^{\circ}$  ye düşürülmesi gerekmektedir. Bu açıda emniyet katsayısı kuru şevlerde 1,70-2.0 a yükselmektedir (Şekil 6.6).

2A-2A' kesitine göre 1609 kademesinden sonra genel şev açısı  $24^{\circ}$  ve 56 m. ocak yüksekliği duraysız gözükmektedir (Şekil 6.5).

Bu bölgede 4 nolu süreksızlık takımının düzlemsel kayma olasılığına karşı şev eğiminin  $30^{\circ}$  den büyük tutulması gerekmektedir.

İkinci alt bölgede 1 ve 4b ile 1 ve 4a nolu süreksızlık düzlemlerinin kesim noktaları  $55^{\circ}$  lik şev eğrisine oldukça uzak konumdadır. Bu bölgede 3 nolu süreksızlığın şev aynasına oldukça dik ve eğiminin yaklaşık  $83^{\circ}$  olması nedeni ile devrilme meydana getirebileceği söylene-

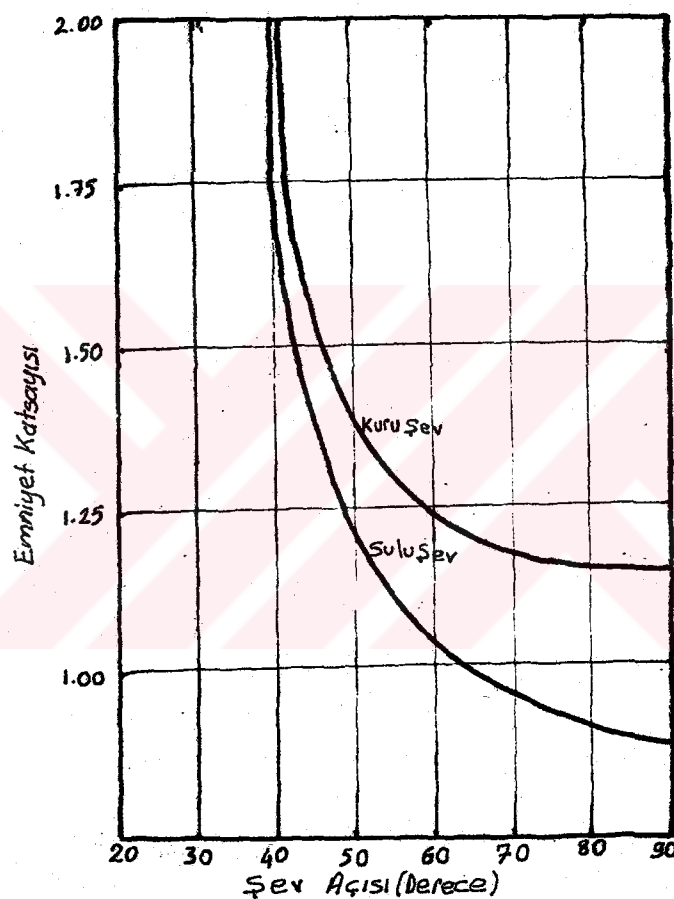
bilir. Şev açılarının  $30^{\circ}$ - $60^{\circ}$  arasında değiştiği bu bölgede şev açılarının kaymalara karşı durayılı olduğu söylenebilir. Kesit 1-1' ve 2-2' ne göre genel şev açısı - ocak yüksekliği ilişkisi ni gösterir diyagramda GD bölgesi duraylı gözükmektedir.

- Üçüncü alt bölgede 2 ve 1 ile 3 ve 1 nolu süreksızlık düzlemlerinin kesim noktaları, şev açısının  $8-10^{\circ}$  düşmesi halinde şev aynası eğrisi ile içsel sürtünme dairesi arasına düşmektedir. Bu bölgede kesit 2A-2A' ne göre şev açıları  $50^{\circ}$ - $63^{\circ}$  arasında değişmekte olup şev aynası üzerinde kama yüzeylerinin gözlenmesi bu yüzdedir. Bu süreksızlık çiftlerine ait emniyet katsayıları 0,46 ve 0,38 dir. Bu değerlerde ekonomik ve emniyetli çalışma mümkün değildir. Bu yüzden bu bölgede emniyet katsayıısının 1,70 - 2,0 arasında seçilip, basamak şev açılarının  $43^{\circ}$ - $45^{\circ}$  arasında tutulmalıdır. 3 ve 2 nolu süreksızlık düzlemlerinin kama kaymalarını meydana getirebilmesi için ise içsel sürtünme açısının  $16^{\circ}$  ye düşmesi gerekmektedir. Bu süreksızlık düzlemlerine ait emniyet katsayıısının  $30^{\circ}$  lik içsel sürtünme açısı için 4.60 olmasından da görülmektedir. Bu bölgede 1 nolu süreksızlık takımının düzlemsel kayma meydana getirme olasılığına karşı önlem alınması da gerekmektedir. Bu yüzden şev açılarının bu süreksızlık düzleminin eğimi olan  $65^{\circ}$  den küçük tutulmalıdır.

#### - Dördüncü alt bölge

Kaymalara karşı en emniyetli bölge olarak görülen bu bölgede 3 nolu süreksızlık takımının özellikle batıkesimlere doğru devrilme oluşturabileceği söylenebilir. Süreksızlık düzlemlerinin kesim noktalarının konumları, şev aynası eğrisine

göre oldukça duraylı gözükmektedir. Bu bölge-  
de genel şev açısı-ocak yüksekliği diyagra-  
mına göre duraylı olduğu söylenebilir.



Şekil 6.6. Kuru ve Sulu şevlerde şev açısı - emniyet katsayıları ilişkisi (Hoek ve Bray, 1977).

## 7. SONUÇ ve ÖNERİLER

Çalışma sahasında arazi ölçümleri, jeoteknik verilere göre kinematik kama türü kayma analizlerive diğer yaklaşım-  
lara göre, alt bölgeler şeklinde değerlendirilen sahada,

- Birinci alt bölgede genel şev açısının  $45^{\circ}$  basamak şev açılarının  $50^{\circ}$  olarak seçilmesi gerekmektedir.
- İkinci alt bölgede, özellikle ana nakliye yolumun geçtiği 1609 kademesinden sonra diklesen şevlerin  $30^{\circ}$  ye düşürülüp kayma riskinin azaltılması gerekmektedir.
- Üçüncü alt bölgede basamak şev açılarının  $15-5^{\circ}$  arasında düşürülüp,  $50^{\circ}$  lik açıların üzerinde çalışma yapılmaması gerekmektedir.
- Dördüncü alt bölgede şev açılarının duraylı olduğu söylenebilir. Ancak proje değeri olan  $75^{\circ}$  lik basamak şev açısı ve  $55^{\circ}$  lik genel şev açısı üzerinde çalışma yapılmalıdır.

Kayma olasılığı, ocağın sözü edilen bölgelerinde sürekli bulunacağından, kayma olması halinde yapılacak ek masraflar ve şev açılarının düşürülmesi ile ortaya çıkacak parasal külfetin karşılaştırmalı incelemesi de gerekmektedir. Kaymalara karşı alınabilecek bir başka önlem ise, öncelikle sürekli kullanılan basamaklarda şev aynasının sağlam kütleye çelik halatlarla gerdirilmesi veya saplamaların kullanılması, böylece kayma yaratan kuvvetlerin azaltılması olabilir.

Emniyet açısından, şev açılarının düşürülmesi, diğer emniyet tedbirlerine göre daha fazla masrafı gerektirip gerektirmeyeceğinde ayrı bir araştırma konusu olmaktadır. Ancak diğer yöntemlerin uygulanabilmesi için uzman ekiplerin hazırlanması ve bu tekniklerin kullanılabilmesi için gerekli teknolojik güçlüklerin bulunması da gözönüne alınmalıdır.

### DEĞİNİLEN BELGELER DİZİNİ

E.A.İ., 1992, 1991 yılı faaliyet raporu: E.A.İ. Raporu, Seydişehir, 26 s.

Harder, E.C. and Greig, E.W., 1960, Bauxite: Gillson.J.L. and others, eds., in Industrial minerals and rock-non metallics other than fuels, New York, American Institute of Mining, Metallurgical and Petroleum Engineers, 65-85 p.

Hoek, E. and Bray, J.W., 1977, Kaya Şev Stabilitesi: (Çev. A.G. Paşamehmetoğlu, M.K. Öncül, F. Çakmak, T.B. Satırlar), Maden Mühendisleri Odası Yayıni, 330 s.

I.S.R.M., 1978; International for Rock Mechanics on Suggested Methods for the Quantitive Description of Discontinuities in Rock Masses Int. J. Rock Mech. Min. Sci. and eomech. Abstr. Vol. 15, 319-368 p.

Karadağ, M.M., 1987, Seydişehir Bölgesi Boksitlerinin Jeolojik, Petrografik ve Jenetik İncelemesi, S.Ü. Fen Bil. Ens. Doktora Tezi, Konya, 265 s.

Pelen, A., 1977, Doğankuzu (Güney Bloku) Boksit Yatağı Arama Raporu: E.A.İ. Raporu, Seydişehir, 21 s.

Ulusay, R., 1982, Şev Stabilite Analizlerinde Kullanılan Pratik Yöntemler ve Jeoteknik Çalışmalar, M.T.A. yayını, Ankara , 141 s.

E K L E R

Ek 1- Bölgenin jeolojik haritası (Ölçek 1/5000)

Ek 2- Bölgenin tektonik haritası (Ölçek 1/2000)

Ek 3- Ocağa ait 2 adet en 2 adet boy kesiti (Ölçek 1/2000)

Ek 4- Bölgenin topografik özelliklerini de içine alan  
Ekim 1991 sonu imalat haritası (Ölçek 1/2000)

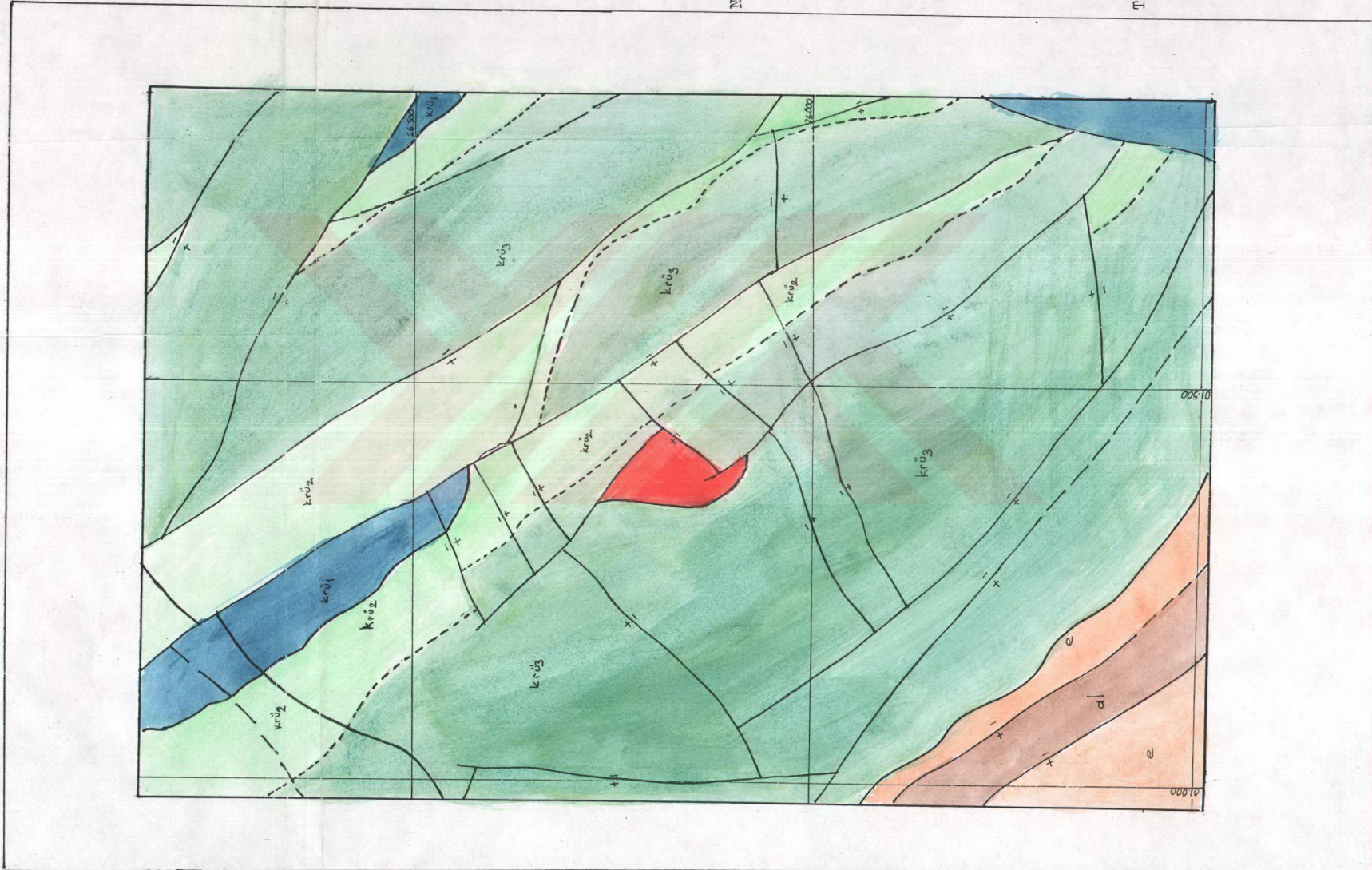
Ek 5- Alt bölgelere ait stereografik-netler

Ek 6- A ve B katsayılarının çıkarılmasında kullanılan  
diyagramlar.

**E K - 1**

**Bölgenin jeolojik haritası (Ölçek 1/5000)**

JEOLOJİK HARİTA Pelen,A.(1977) den Revize Edilmiştir.



A diagram consisting of a horizontal line segment with two shaded triangular regions extending from its ends, forming a V-shape.

Ölçek 1/5000

E<sub>k</sub> 1

Tavan Kireçtaşısı  
Kedi 2

Taban Kireçtaşı

Boksitli Bres  
Fay

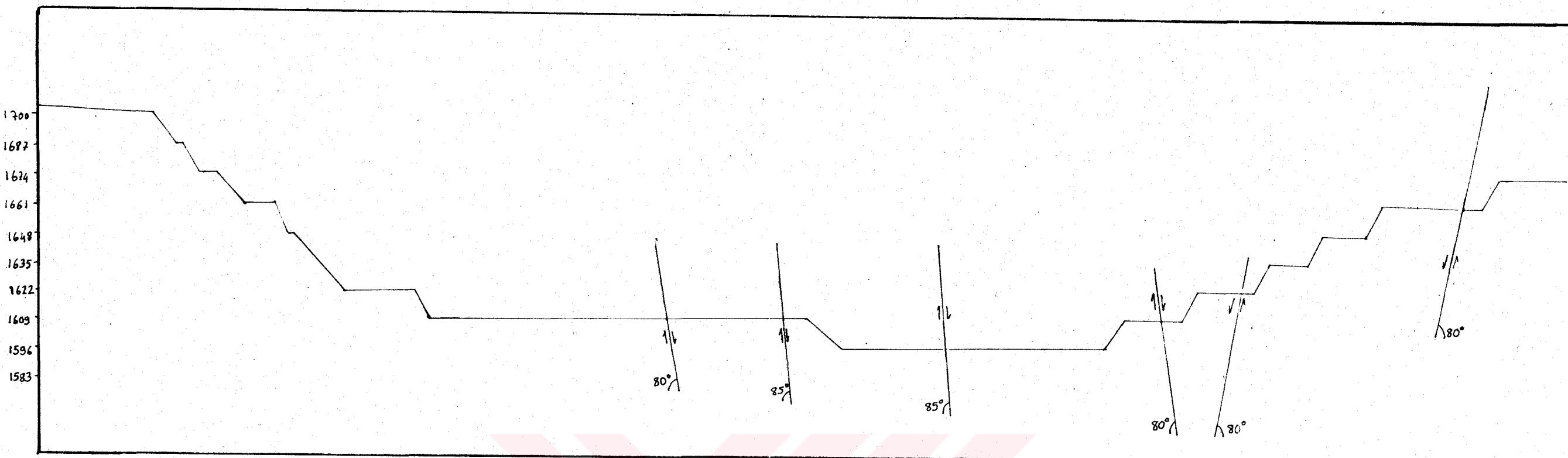
V.C. VİYADAN MÜSETTİM KURU  
DOĞUM ANTAKYA MERKEZİ

E K - 2

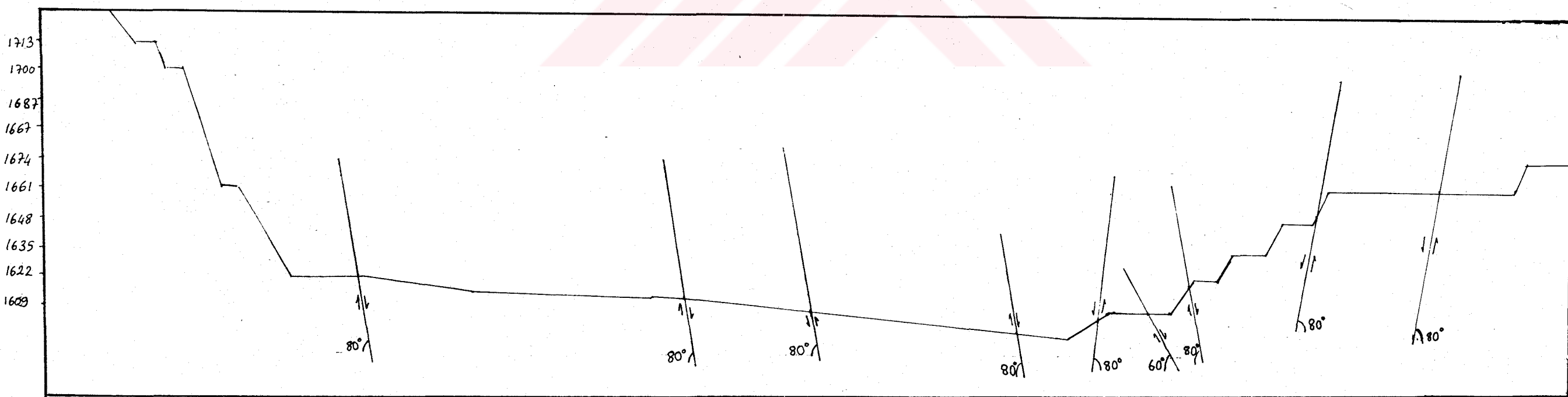
Bölgenin tektonik haritası (Ölçek 1/2000)

E K - 3

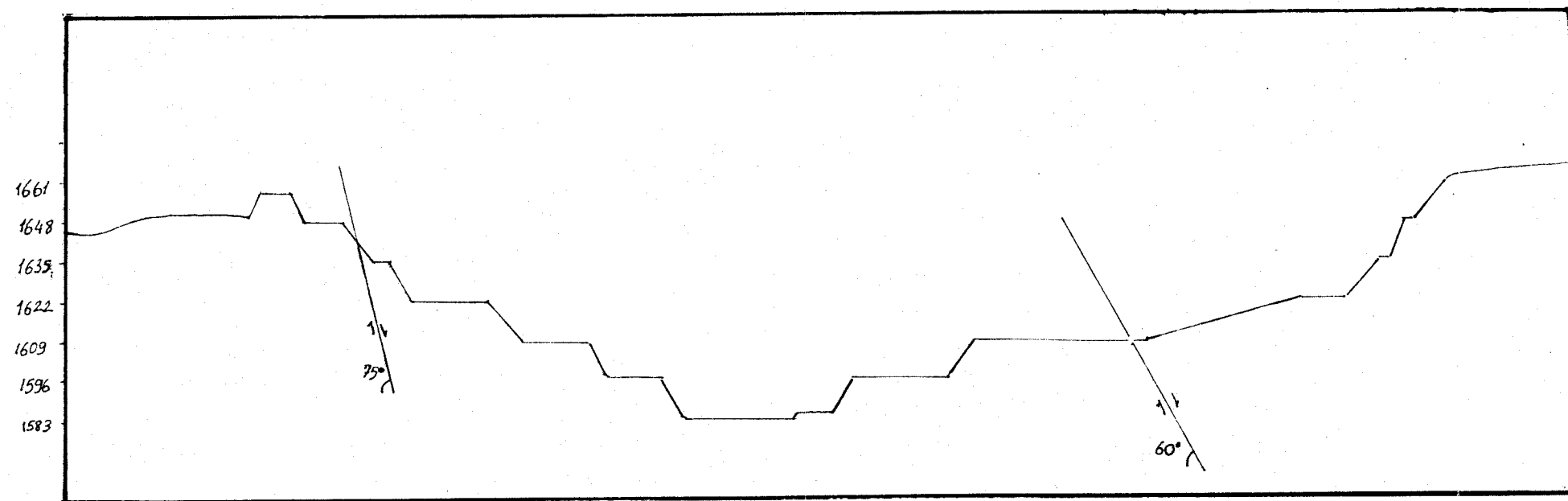
Ocağa ait 2 adet en 2 adet boy kesiti(Ölçek 1/2000)



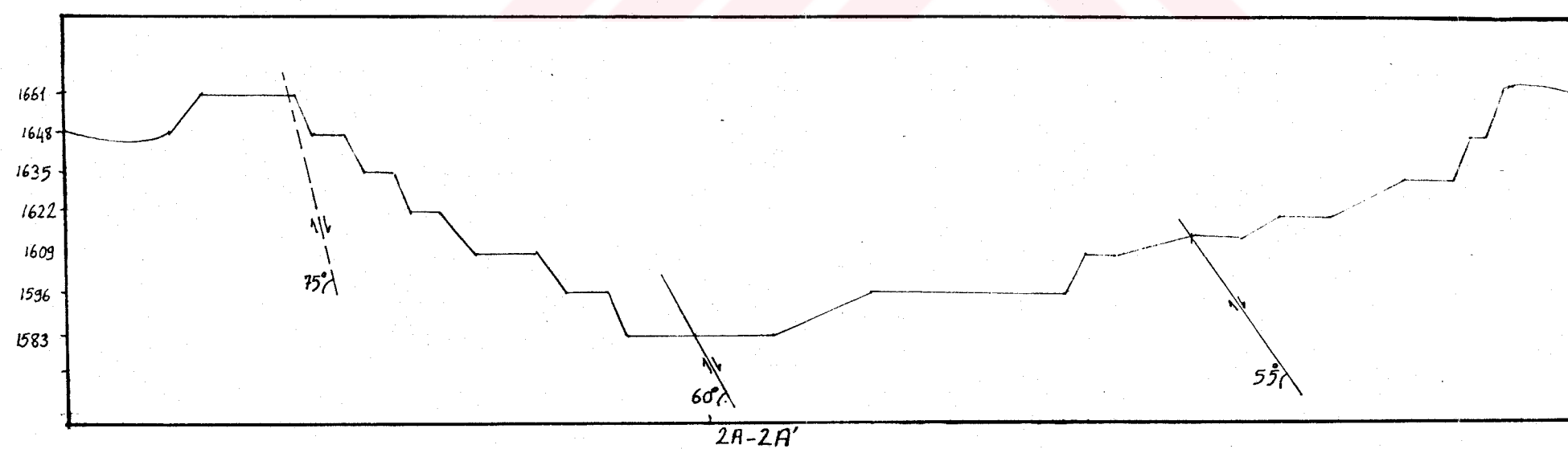
1-1'



2-2'



1A-1A'



2A-2A'

E K - 4

Bölgemim topografik özelliklerini de içine alan  
Ekim 1991 sonu imalat haritası (Ölçek 1/2000)



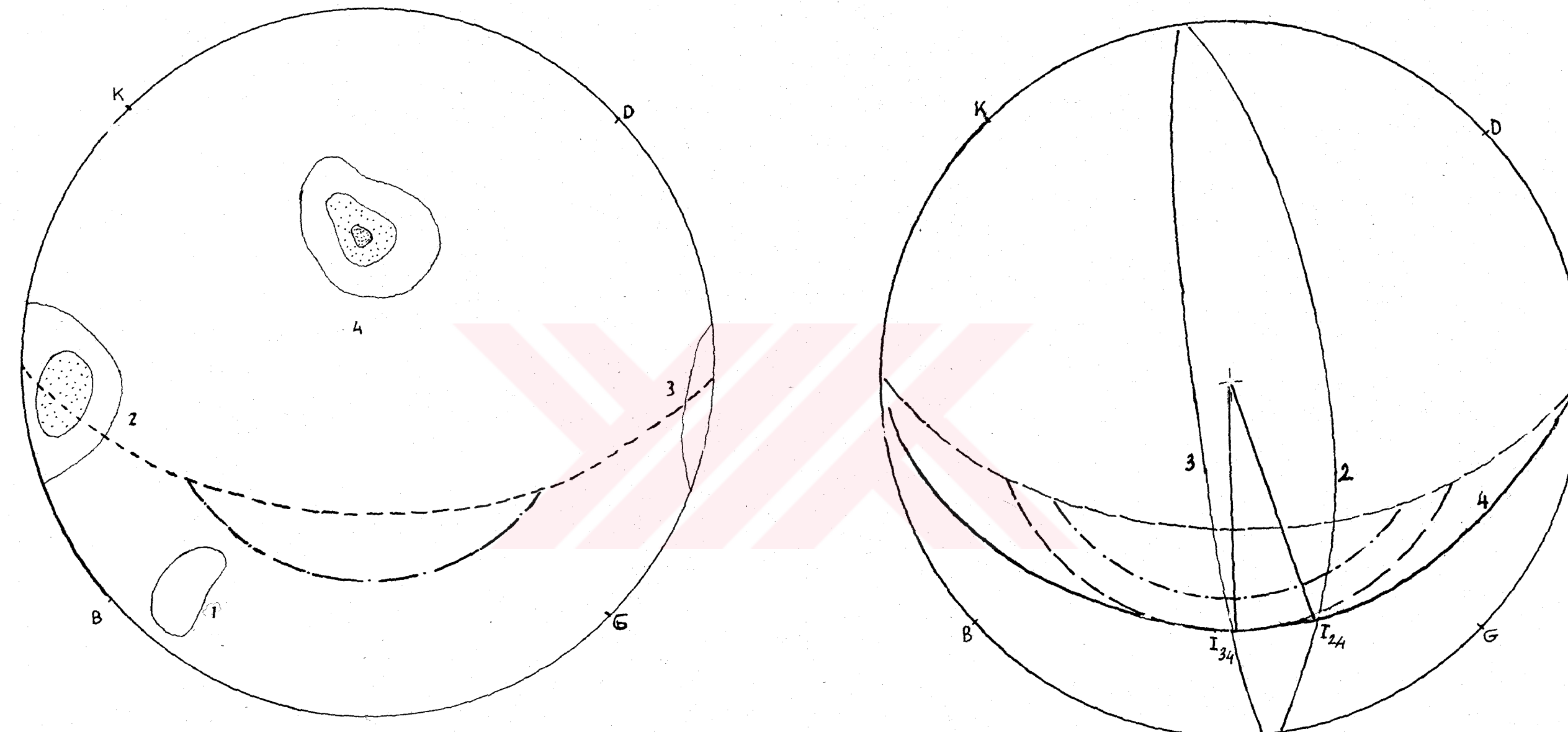
Ek4

DOĞANKUZU GÜNEY BLOK  
EKİM SONU İMALAT HARİTASI  
FÜMEN'DEN REVİZE EDİLMİŞTİR

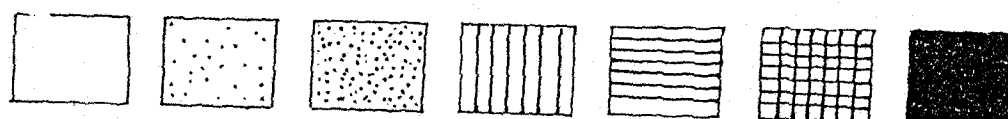
E K - 5

Alt bölgelere ait stereografik - netler

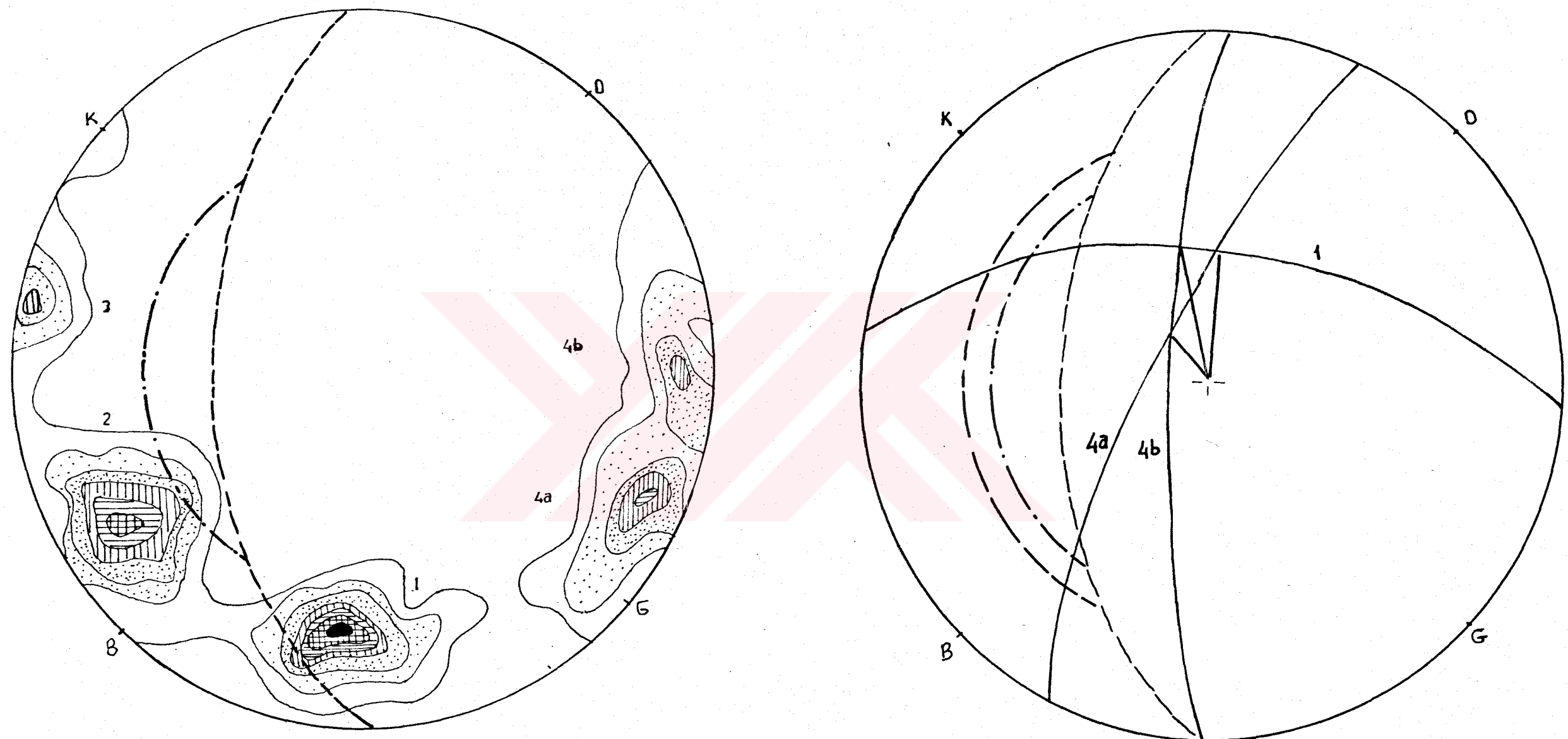
EK 5a



Ölçüm sayısı 66



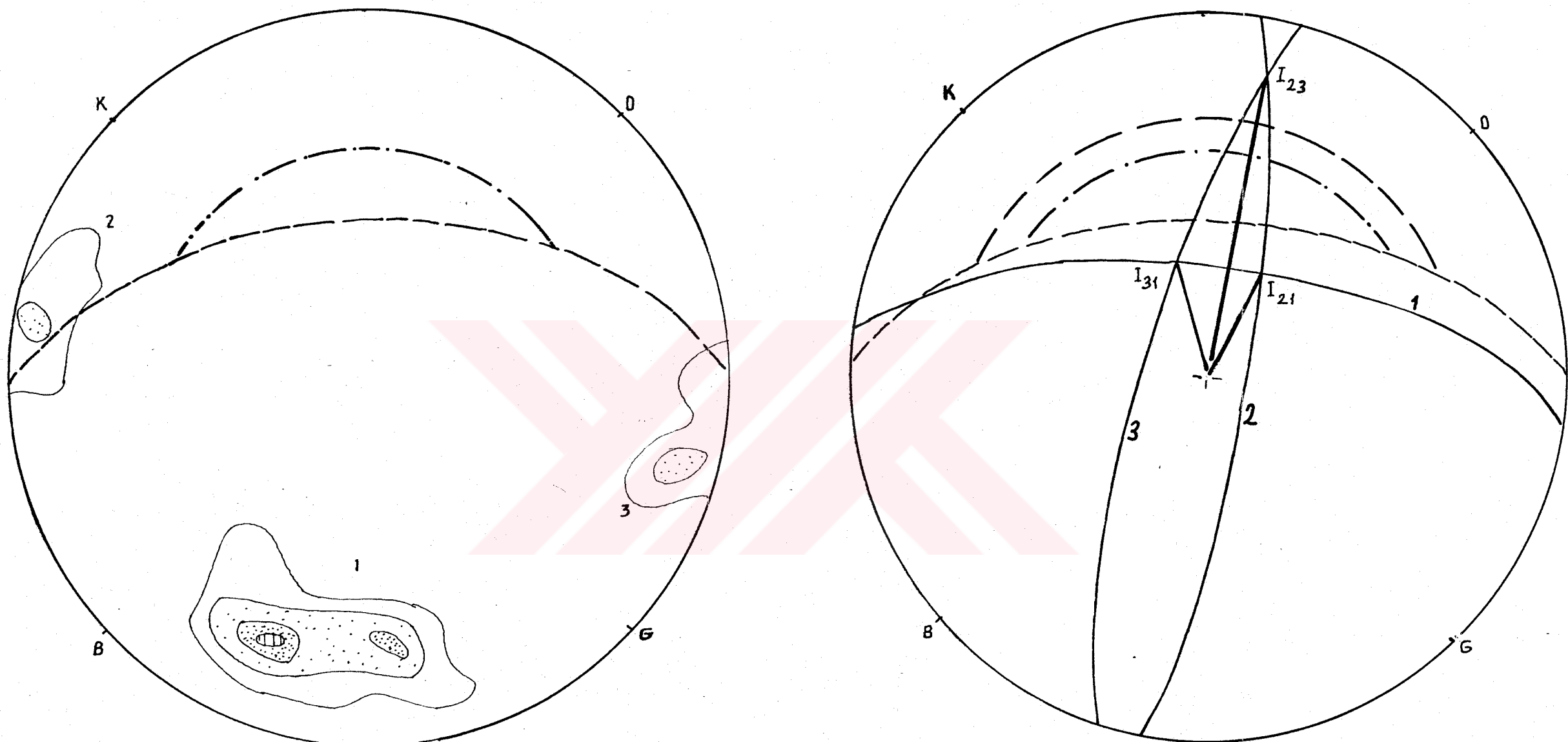
% 2 < % 2-4 % 4-6 % 6-8 % 8-10 % 10-12 >% 12



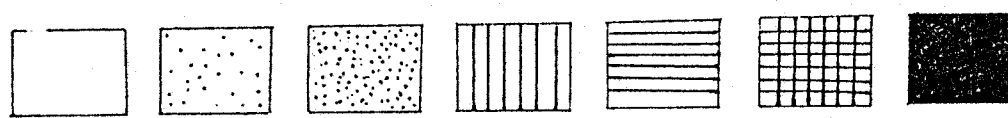
Ölçüm sayısı: 128



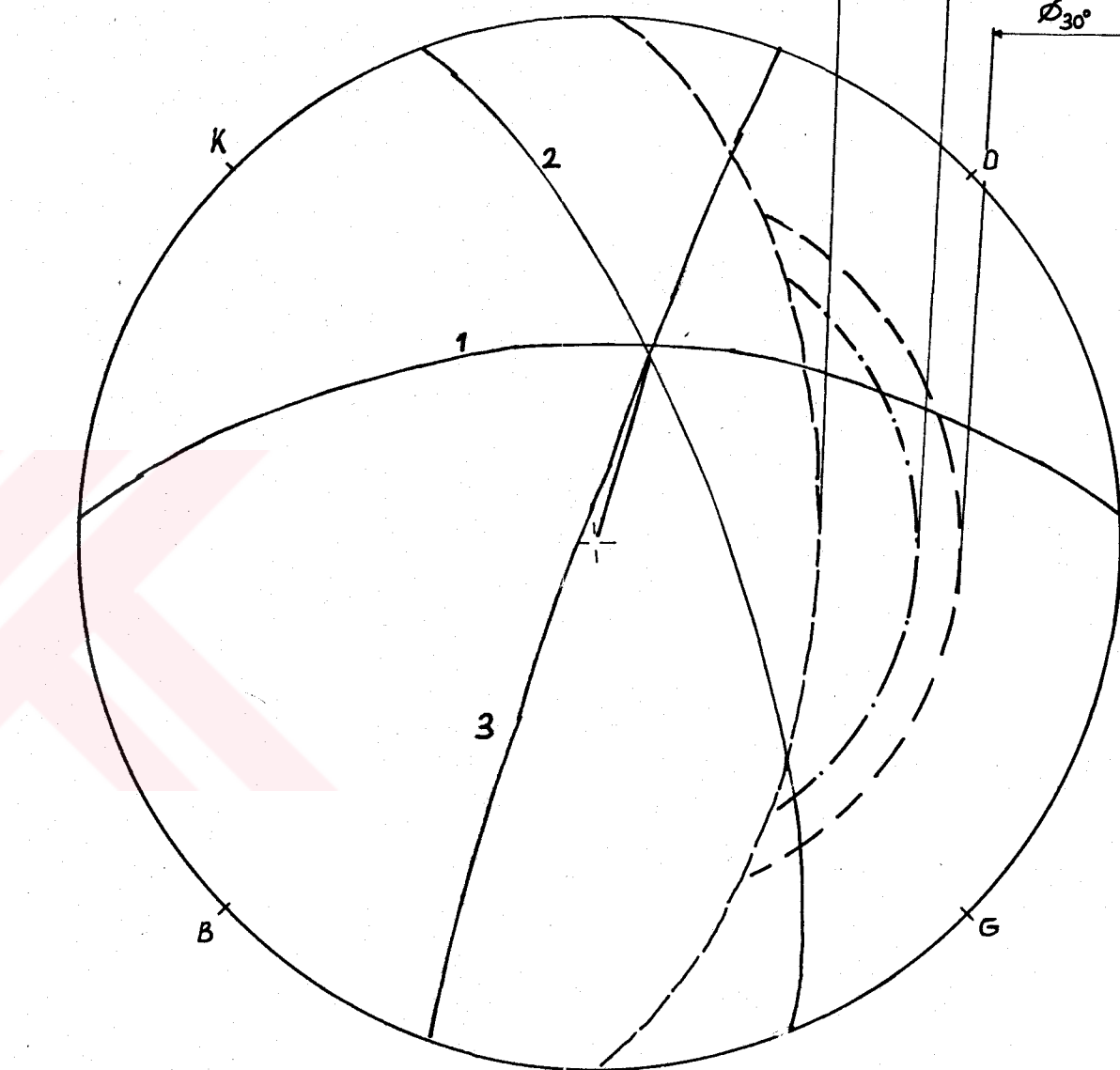
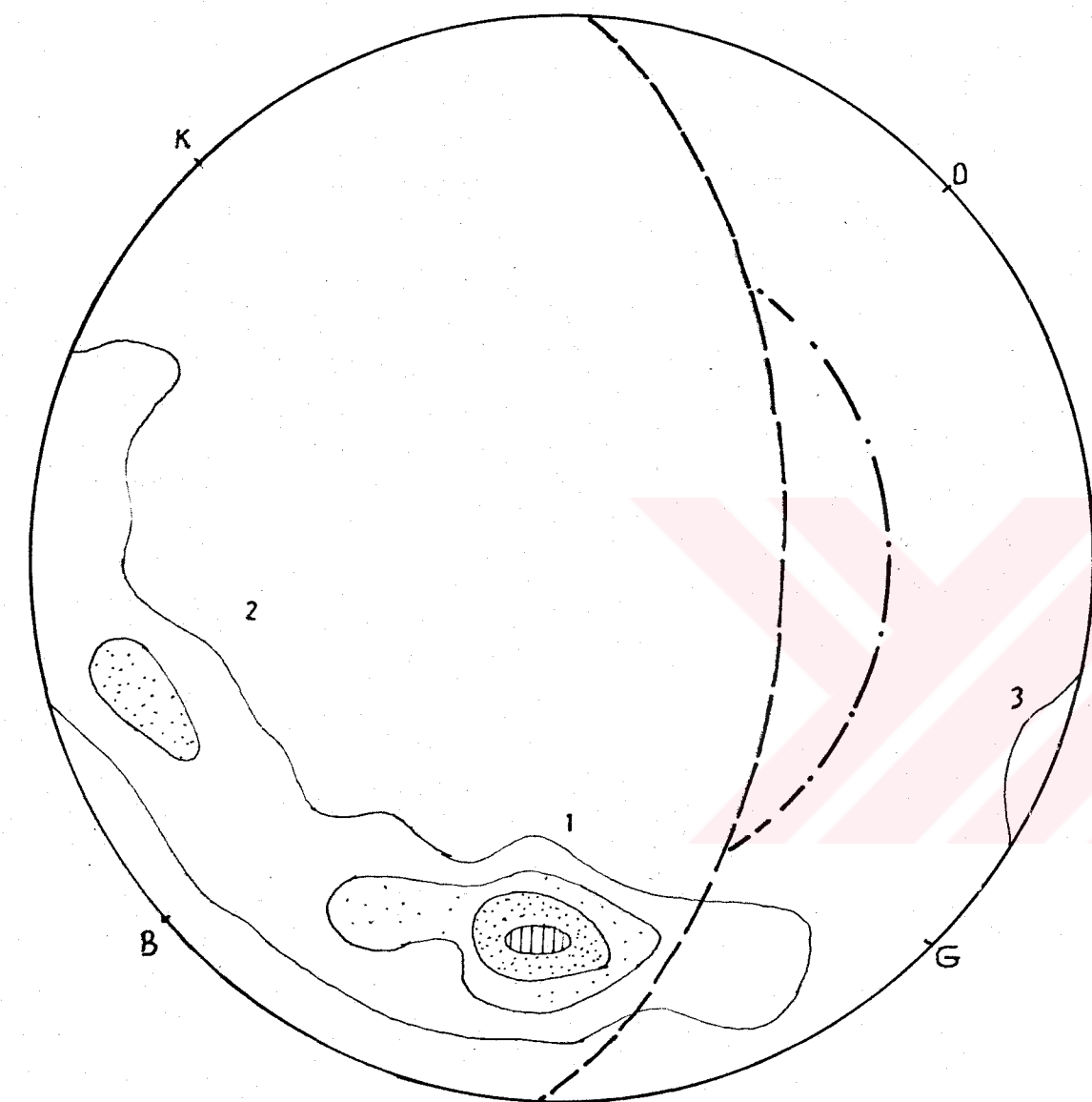
% < 2 % 2-4 % 4-6 % 6-8 % 8-10 % 10-12 >% 12



Ölçüm sayısı 112



% 2<    % 2-4    % 4-6    % 6-8    % 8-10    % 10-12    >% 12



$\psi_f$

$\phi_{38^\circ}$

$\phi_{30^\circ}$

Ölçüm sayısı 60

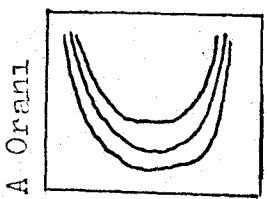


% 2 < % 2-4 % 4-6 % 6-8 % 8-10 % 10-12 >% 12

E K - 6

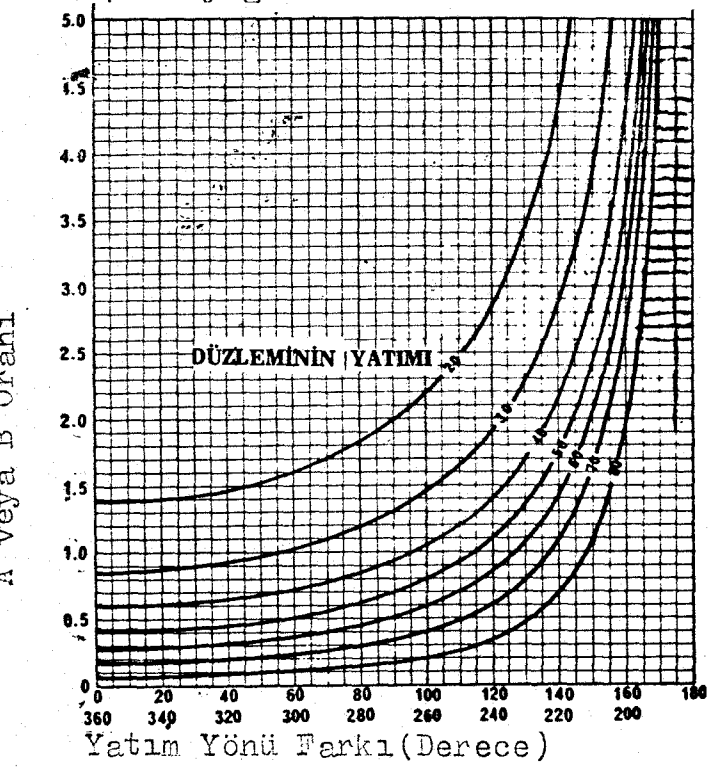
A ve B katsayılarının çıkarılmasında kullanılan  
diyagramlar

A Divaygramı  
Yatım Farkı

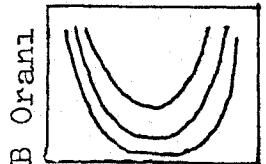


Yatım Yönü Farkı  
(Derece)

A/B Diyagramı.Yatım Farkı 0°

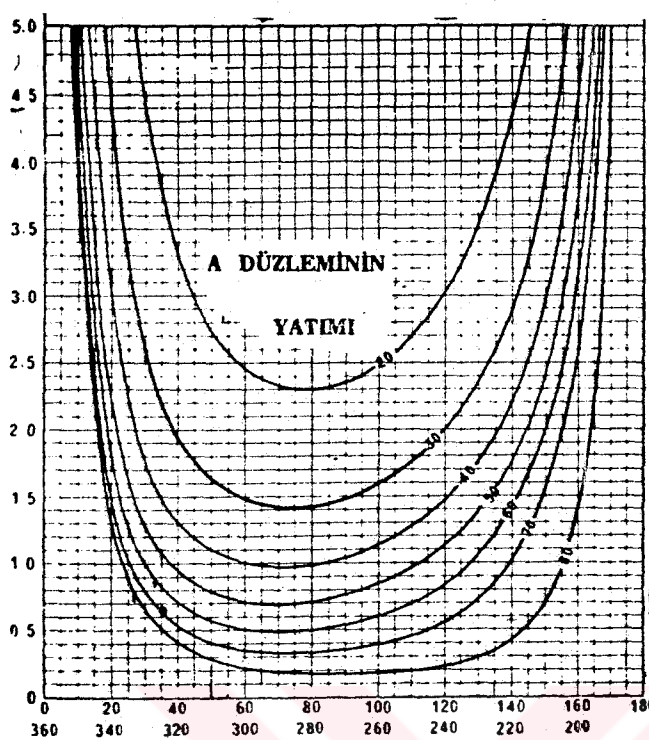


B Diyagramı  
Yatım Farkı

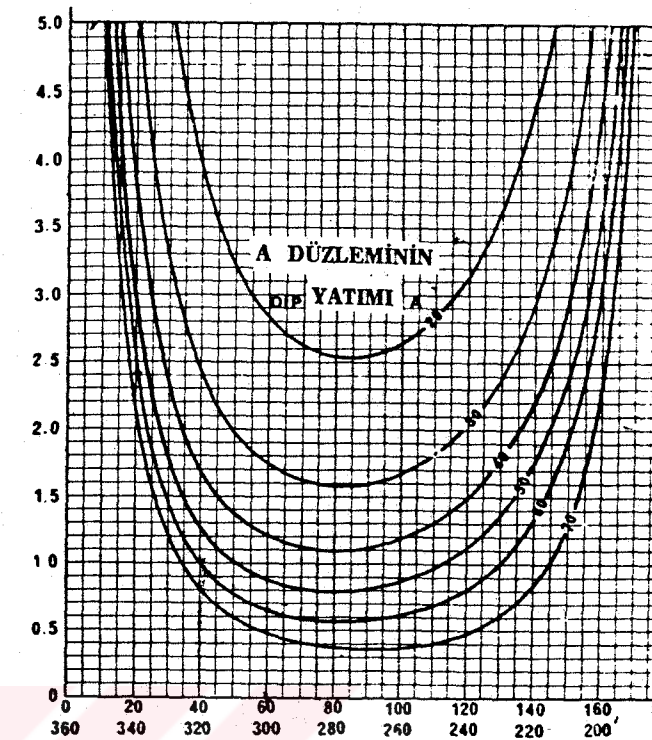


Yatım Yönü Farkı  
(Derece)

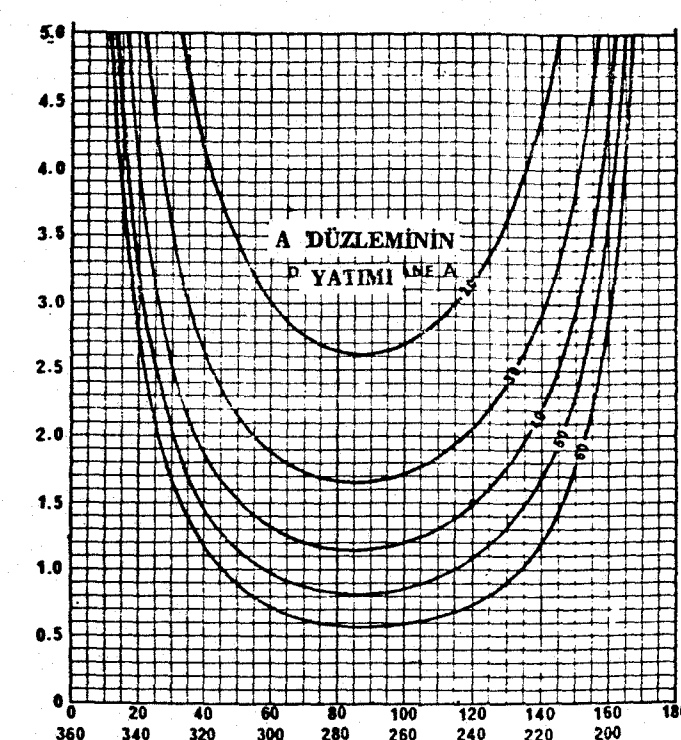
10°



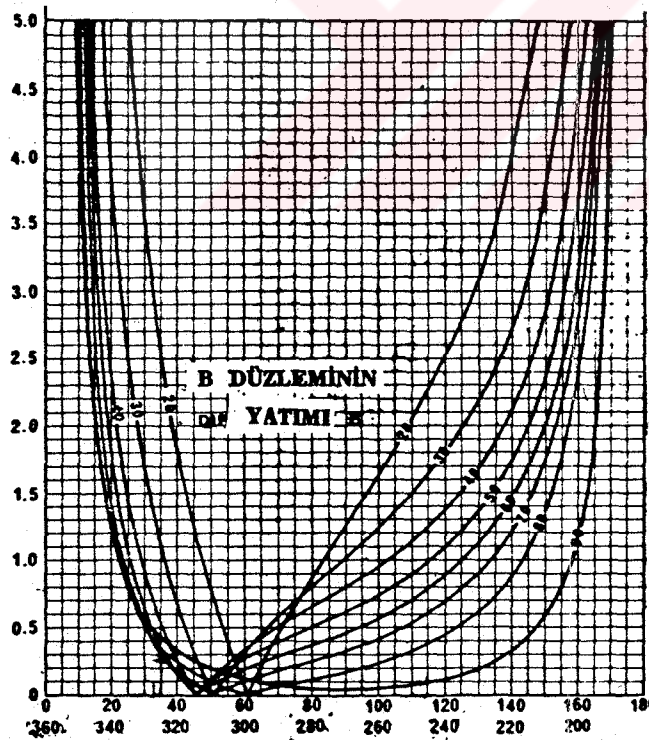
20°



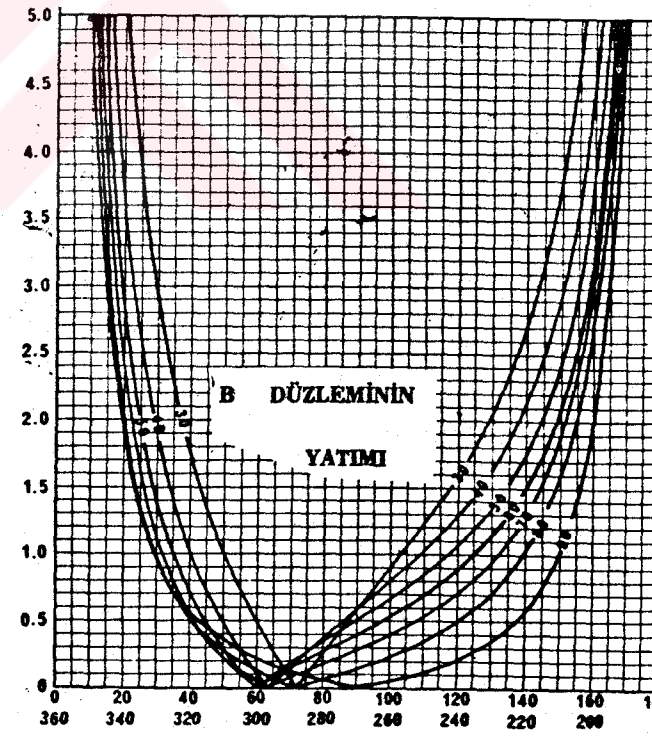
30°



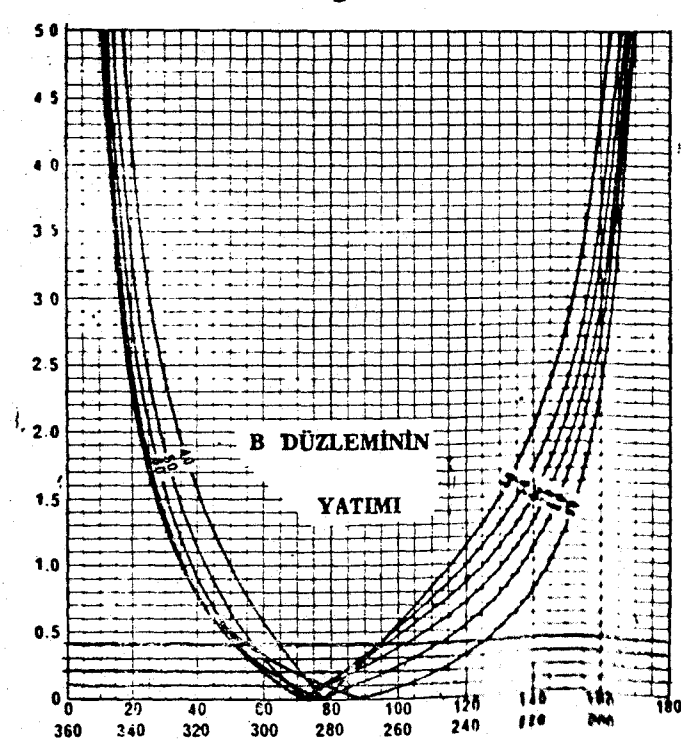
10°



20°



30°



Ek 6 : A ve B Katsayılarının Çıkarılmasında Kullanılan Diyagramlar(Hoek ve Bray,1977).

